

宇宙のバリオン数生成

佐賀大学
船久保 公一

金沢夏の学校

2010年8月28,29日@岐阜県高山市

講義のプラン

- ★ ビッグバン宇宙論の復習
- ★ バリオン数生成の概観
- ★ スファレロン過程
- ★ レプトン数生成
- ★ 電弱バリオン数生成

宇宙の物質・反物質 非対称性

相対論的局所場の理論

すべての粒子には、
同質量・同スピン・逆電荷の反粒子が存在

粒子 = 反粒子 光子, Z^0 , H^0 , ...

素粒子の基本法則

粒子と反粒子の入れ替えについて

「ほとんど」対称的

C, CP対称性

観測的事実

宇宙には物質しか存在しない

地球・月・太陽系

天の川銀河

天の川からの宇宙線

$$\frac{\text{反陽子}}{\text{陽子}} = 10^{-4}$$

2次粒子とconsistent



遠方の銀河・銀河団

遠方の銀河が反物質でできている可能性

宇宙論的に厳しい (後述)

Steigman, Ann. Rev. Astron. Astrophys. 14 ('76)

ビッグバン宇宙論の概要

Kolb and Turner, The Early Universe

自然単位系 $c = \hbar = 1$ $k_B = 1$

Einstein方程式

$$R_{\mu\nu}(x) - \frac{1}{2}g_{\mu\nu}(x)R(x) + \Lambda g_{\mu\nu}(x) = 8\pi G T_{\mu\nu}$$

Friedmann-Robertson-Walker時空 一様・等方空間

$$ds^2 = dt^2 - R_0^2 a(t)^2 \left[\frac{dr^2}{1 - kr^2} + r^2 (d\theta^2 + \sin^2 \theta d\phi^2) \right]$$

スケール因子

曲率パラメータ

現在 $a(t_0) = 1$

$$k = \begin{cases} 1 & \text{closed} \\ 0 & \text{flat} \\ -1 & \text{open} \end{cases}$$

エネルギー-運動量も空間的に一様

$$T^{\mu}_{\nu} = \text{diag}(\rho(t), P(t), P(t), P(t))$$

Friedmann方程式 $\left(\frac{\dot{a}}{a}\right)^2 = \frac{8\pi G}{3}\rho(t) - \frac{k}{R_0^2 a^2} + \frac{\Lambda}{3}$

エネルギー-保存則 $\frac{d}{dt}(\rho(t)a(t)^3) = -P(t)\frac{d}{dt}(a(t)^3)$

状態方程式 $P(t) = w\rho(t)$

放射 $w = \frac{1}{3}$ $\rho_r(t) \propto a(t)^{-4}$

物質 $w = 0$ $\rho_m(t) \propto a(t)^{-3}$

真空 $w = -1$ $\rho_{\Lambda}(t) \propto a(t)^0$

$$H(t)^2 = \left(\frac{\dot{a}}{a} \right)^2 = \frac{8\pi G}{3} (\rho_r(t) + \rho_m(t) + \rho_\Lambda) - \frac{k}{R_0^2 a^2}$$

Hubbleパラメータ

$$\rho_\Lambda \equiv \frac{\Lambda}{8\pi G}$$

$$\begin{aligned} \frac{1}{H_0^2} \left(\frac{\dot{a}}{a} \right)^2 &= \frac{8\pi G}{3H_0^2} \left(\frac{\rho_r(t_0)}{a^4} + \frac{\rho_m(t_0)}{a^3} + \rho_\Lambda \right) - \frac{k}{R_0^2 H_0^2 a^2} \\ &= \frac{\Omega_{r0}}{a^4} + \frac{\Omega_{m0}}{a^3} + \Omega_{\Lambda 0} - \frac{K_0}{a^2} \end{aligned}$$

臨界密度 $\rho_{C0} \equiv \frac{3H_0^2}{8\pi G}$

時期(a)により優勢な成分が変わる

密度パラメータ $\Omega_{r0} \equiv \frac{\rho_r(t_0)}{\rho_{C0}}, \text{ etc}$

$$1 = \Omega_{r0} + \Omega_{m0} + \Omega_{\Lambda 0} - K_0$$

$K_0 = \Omega_{r0} + \Omega_{m0} + \Omega_{\Lambda 0} - 1$ の符号で宇宙の「形」が決まる

$(H_0, \Omega_{r0}, \Omega_{m0}, \Omega_{\Lambda 0}) \longrightarrow$ スケール因子の時間発展

$H_0 = 100h$ km/s/Mpc 唯一の次元を持つパラメータ

密度パラメータの決定

● 遠方の超新星($z > 0.1$)の赤方偏移と光度距離

● 宇宙背景放射の揺らぎの相関

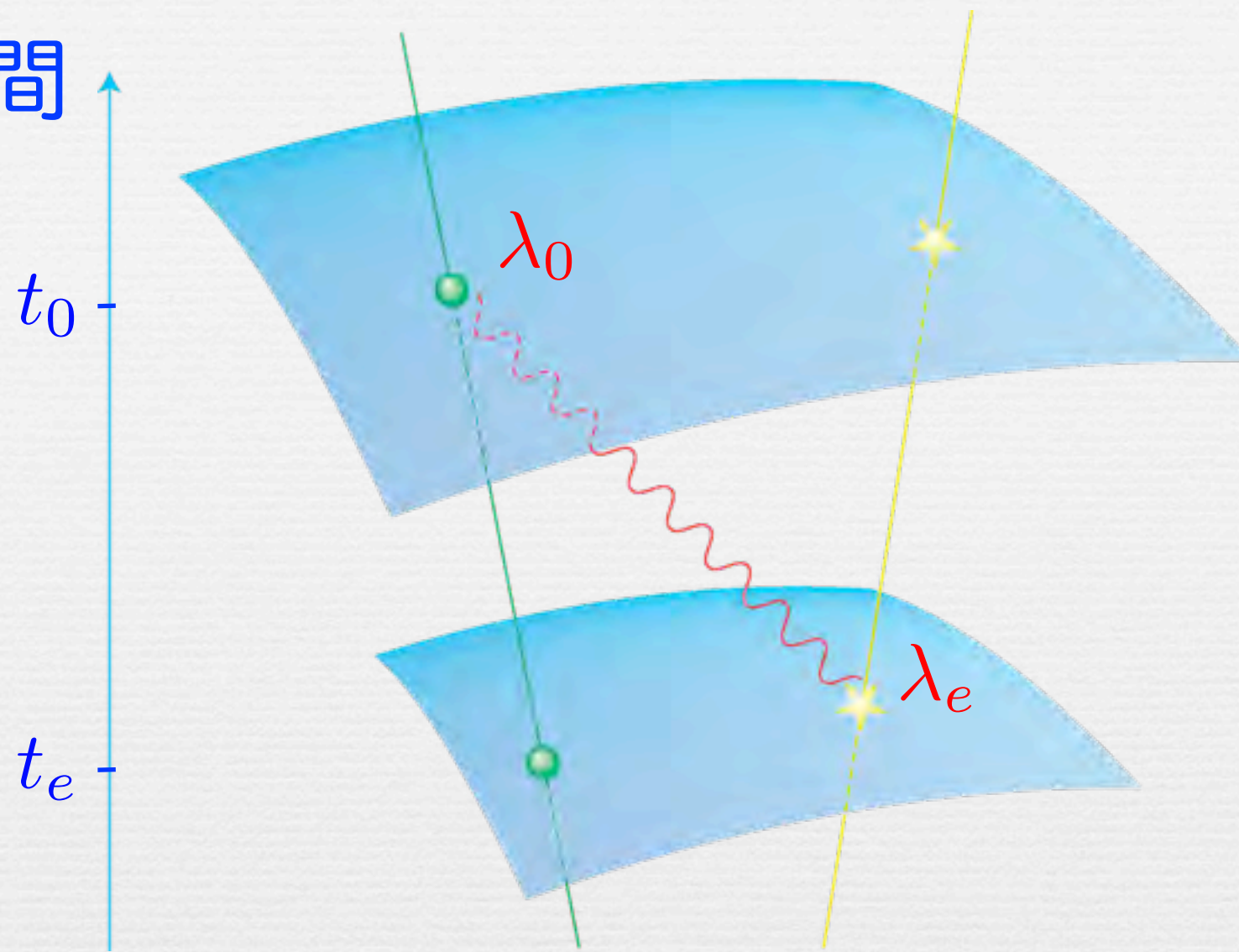
Dodelson, Modern Cosmology

$h, \Omega_m h^2, \Omega_B h^2, \Omega_\Lambda, \dots$ をパラメータとして、

光子脱結合前後の、一様分布関数からの揺らぎの発展

光子の温度揺らぎの相関 $\left\langle \frac{\delta T(\mathbf{x})}{T} \frac{\delta T(\mathbf{y})}{T} \right\rangle$

時間



$$1 + z = \frac{\lambda_0}{\lambda_e} = \frac{a(t_0)}{a(t_e)}$$

赤方偏移

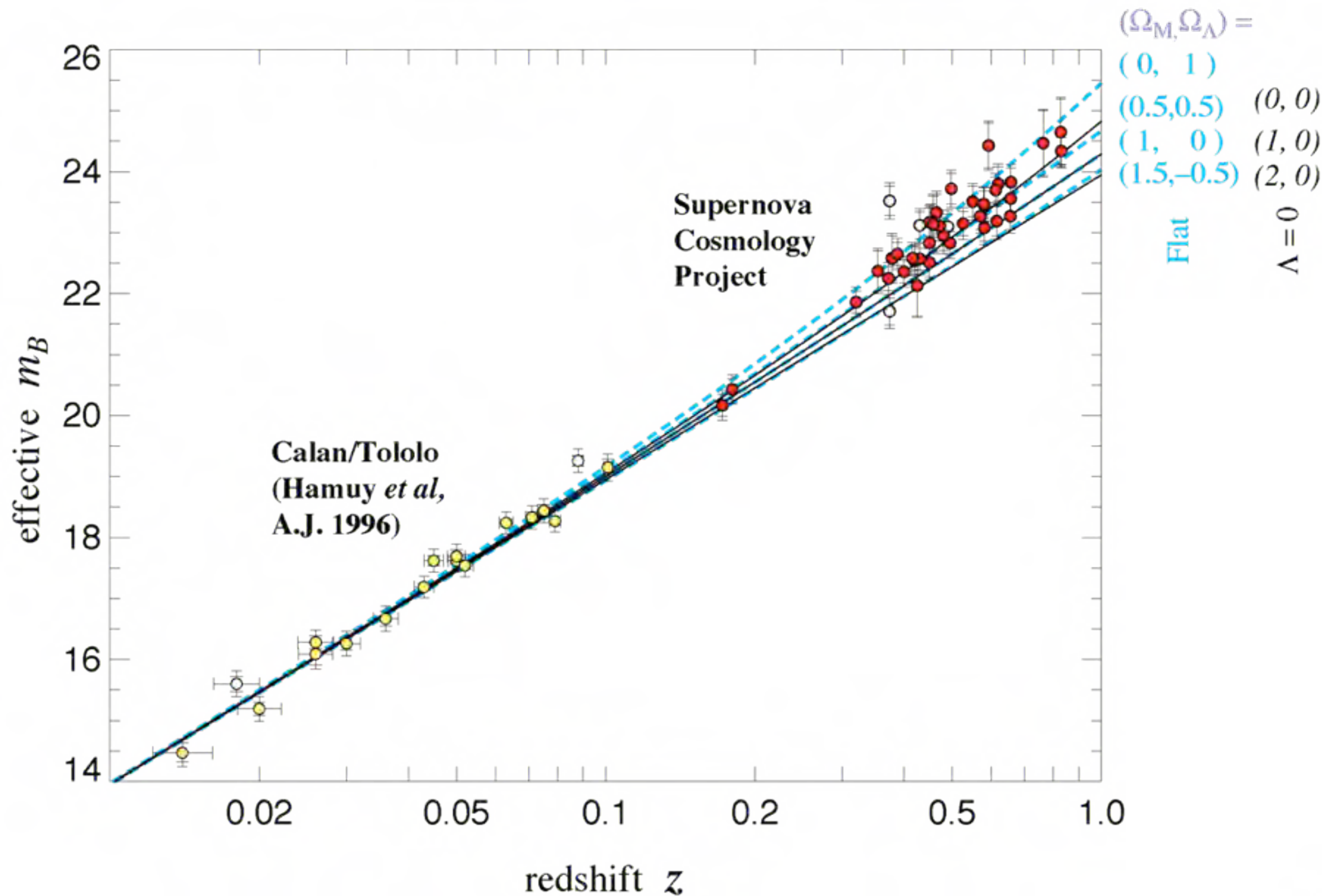
高精度

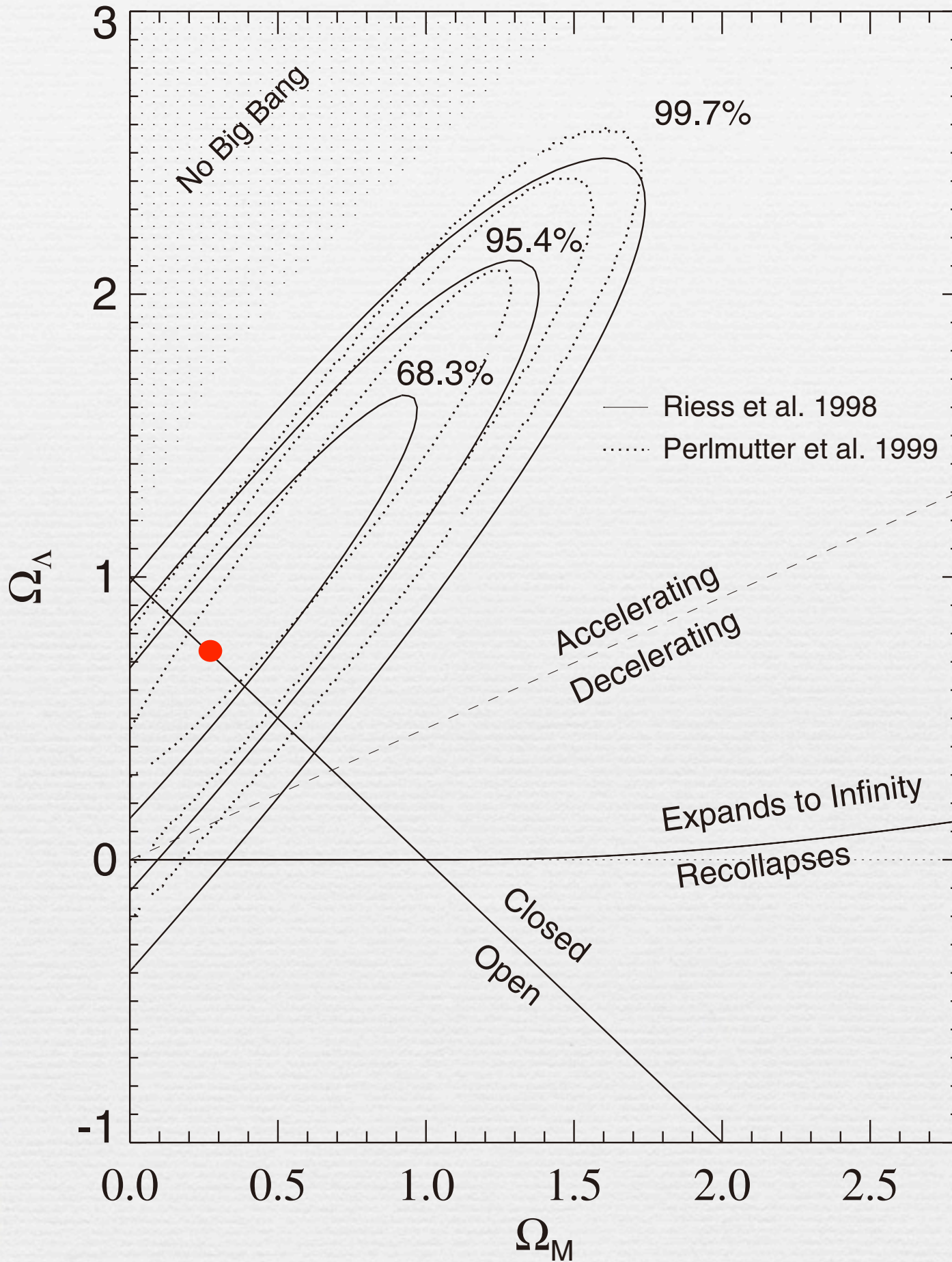
多数の天体について z と t_e の関係 \longrightarrow $a(t)$ の関数形

いつ星を出た光か？ 平坦定常時空なら距離=時間

赤方偏移と星までの光度距離の関係が
宇宙論的パラメータに依存

光度距離





最も確からしい
密度パラメータ

95%以上の確率で

$$\Omega_\Lambda \neq 0$$

宇宙が平坦なら

$$\Omega_\Lambda \simeq 0.7$$

$$\Omega_m \simeq 0.3$$

7割が未知のエネルギー

背景放射の温度揺らぎ

光子脱結合前後

異なる物理から

超新星の距離と赤方偏移

天体形成後

同じ結果

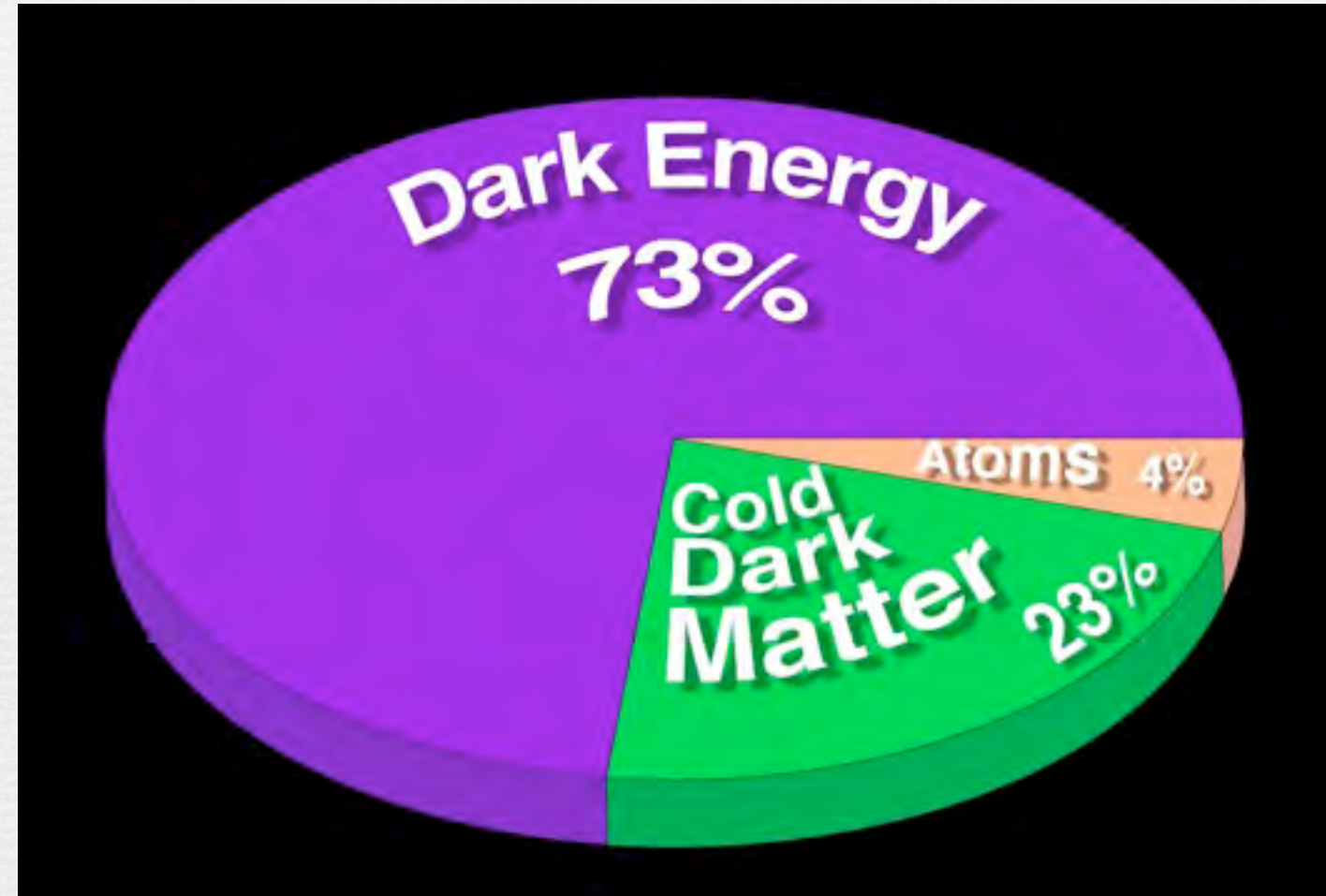
バリオン密度パラメータは決定できない

ダークエネルギー 73%

質量のある物質 27%

陽子・中性子 4%

ダークマター 23%



バリオンの量は**元素合成の理論**の値と一致

Thermal History of the Universe

統計力学の復習

粒子数密度 $n = g \int \frac{d^3\mathbf{p}}{(2\pi)^3} \frac{1}{e^{(\epsilon_p - \mu)} \mp 1} \stackrel{m, \mu \ll T}{\simeq} g \left\{ \begin{array}{c} 1 \\ 3/4 \end{array} \right\} \frac{\zeta(3)}{\pi^2} T^3$

エネルギー密度 $\epsilon = g \int \frac{d^3\mathbf{p}}{(2\pi)^3} \frac{\epsilon_p}{e^{(\epsilon_p - \mu)} \mp 1} \stackrel{m, \mu \ll T}{\simeq} g \left\{ \begin{array}{c} 1 \\ 7/8 \end{array} \right\} \frac{\pi^2}{30} T^4$

エントロピー密度 $s \simeq g \left\{ \begin{array}{c} 1 \\ 7/8 \end{array} \right\} \frac{2\pi^2}{45} T^3$

$$s \simeq \frac{2\pi^2}{45} g_{*s} T^3 = \frac{2\pi^2}{45} \left(\sum_B g_B(T) + \frac{7}{8} \sum_F g_F(T) \right) T^3$$

断熱膨張

$$g_{*s} T^3 a^3 = \text{const.}$$

膨張宇宙と統計力学

空間の膨張率 $H(T) = \frac{\dot{a}(t)}{a(t)} \Big|_T < \Gamma_A(T)$ 過程Aの反応率

反応の断面積

関与する粒子の密度



過程Aは**化学平衡**

運動学的平衡と化学平衡

放射優勢期で光子と化学平衡にある粒子は**同じ温度**

数密度などは平衡分布で決まる

ある粒子が平衡から外れること = **脱結合(decoupling)**

温度とイベント

光子の脱結合

$$T_{\text{dec}} \simeq 0.26\text{eV}$$

$$\Gamma_{\gamma} = n_e \sigma_T = H(T_{\text{dec}})$$

Thomson cross section

放射・物質等価期

$$T_{\text{eq}} \simeq 5.5 \Omega_{m0} h^2 \text{eV}$$

$$\rho_m(T_{\text{eq}}) = \rho_r(T_{\text{eq}})$$

元素合成

$$T = (10 - 0.1)\text{MeV}$$

ニュートリノ脱結合

$$T \simeq 1\text{MeV}$$

$$\Gamma_{\nu} = n\sigma|v| \simeq G_F^2 T^5 = H(T)$$

quark-hadron相転移

$$T \simeq (100 - 300)\text{MeV}$$

閉じ込め-非閉じ込め、
カイラル対称性の自発的破れ

電弱相転移

$$T \simeq 100\text{GeV}$$

電弱ゲージ対称性の自発的破れ

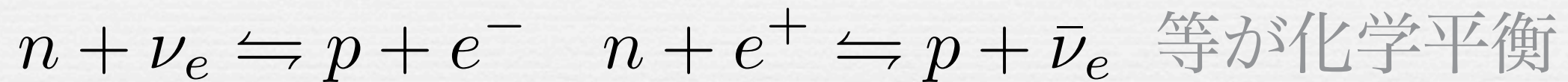
練習問題

- $T=2.3\text{K}$ として放射のエネルギー密度を求めよ。
- $H_0=71\text{km/s/Mpc}$ として臨界密度を求めよ。これから、現在の放射の密度パラメータを出せ。
- 放射の状態方程式 $P = \frac{1}{3}\rho$ を示せ。
- 状態方程式が $P = w\rho$ であるとき、 $\rho a^{3(1+w)} = \text{const.}$ を示せ。
- 宇宙背景ニュートリノの温度を求めよ。
- Einstein方程式にFRW計量を代入してスケール因子に対する方程式を全て導出せよ。

元素合成

宇宙初期に陽子・中性子から合成される軽元素量が予言される

$$T \gg 1\text{MeV}$$



$$\frac{n_n}{n_p} \simeq e^{-Q/T} \simeq 1 \quad Q \equiv m_n - m_p = 1.29\text{MeV}$$

$$T \simeq 1\text{MeV}$$

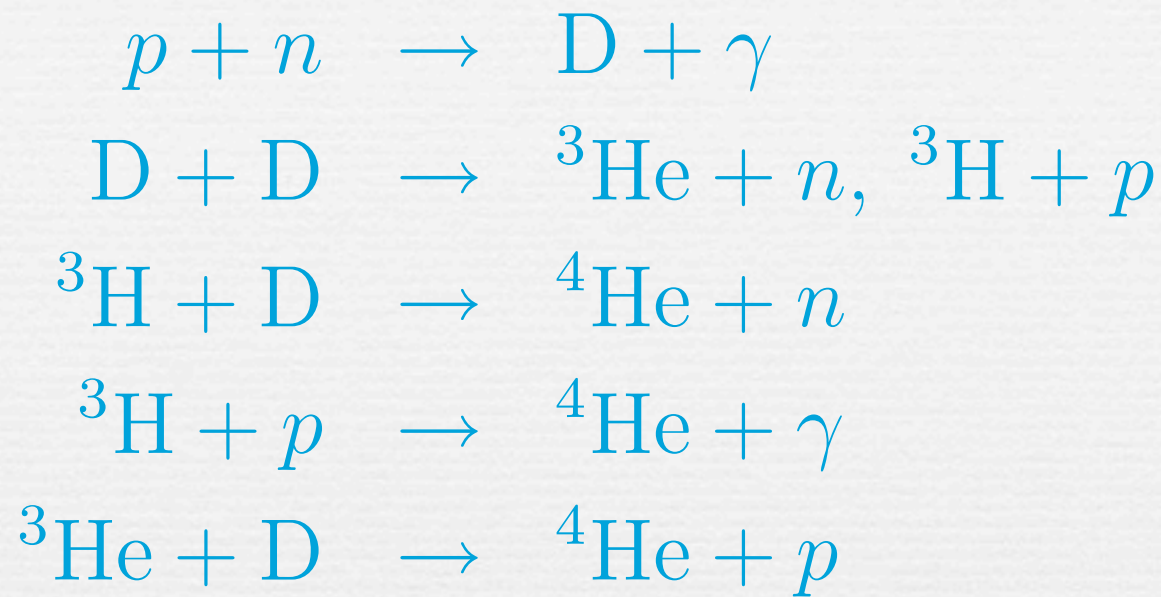
$$\Gamma_{n \leftrightarrow p} \simeq H(T)$$

反応が凍結

$$\left(\frac{n_n}{n_p} \right)_{\text{freeze-out}} \simeq 0.167$$

この後、 β 崩壊で中性子が少しずつ減少

$T \simeq 0.1\text{MeV}$ 軽元素合成が進む



核子結合エネルギー		
	E_B (MeV)	E_B/A (MeV)
D	2.22	1.11
${}^3\text{H}$	6.92	2.31
${}^3\text{He}$	7.72	2.57
${}^4\text{He}$	28.3	7.08

${}^4\text{He} + {}^3\text{He} \rightarrow {}^7\text{Li}$ 等により、 ${}^7\text{Li}$ まで合成

残っている中性子は、ほとんど全て ${}^4\text{He}$ に取り込まれる。

最終的な軽元素の量は、合成時の中性子の数で決まる。

$\eta = \frac{n_B}{n_\gamma}$ が大きい \longrightarrow 中性子が多い状態で元素合成

詳細は、Boltzmann方程式を解いて

^4He の質量比

$$Y = \frac{(2m_p + 2m_n)n_n/2}{m_p n_p + m_n n_n}$$

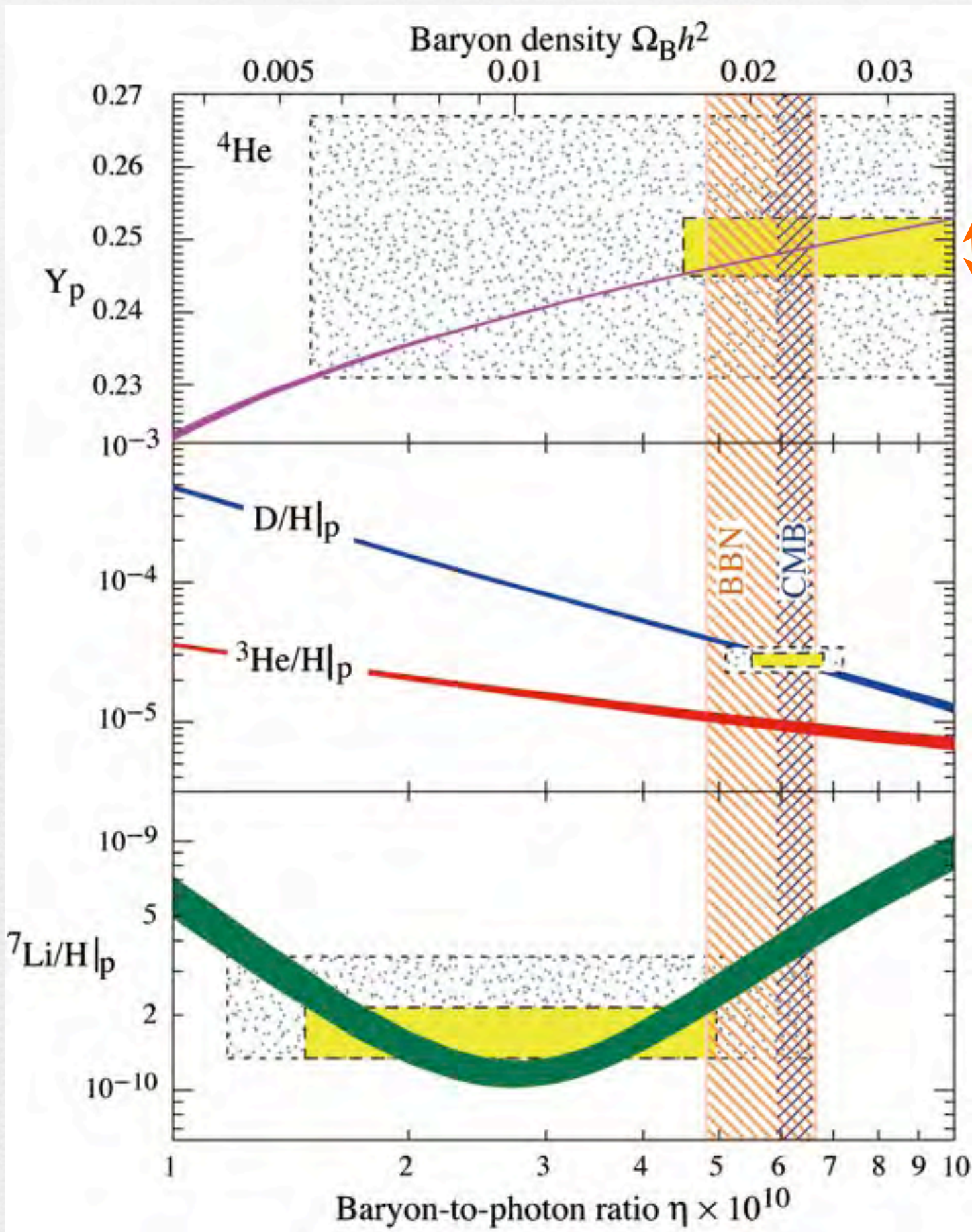
$$= \frac{2n_n/n_p}{1 + n_n/n_p}$$

$$\frac{n_n}{n_p} = 0.13 \Rightarrow Y = 0.23$$

元素合成期までに

$$\eta = (4.7 - 6.5) \times 10^{-10}$$

が必要



観測値
(95%CL)

元素合成後に残った電子・陽電子が対消滅

光子の温度が少し上昇

n_γ の代わりにエントロピー密度 s を使う $s = 7.04n_\gamma$

バリオン数非対称性

$$\frac{n_B}{s} = \frac{n_b - n_{\bar{b}}}{s} = (0.67 - 0.92) \times 10^{-10}$$

バリオン数の変化、エントロピー生成が
無ければ宇宙の膨張によらずに一定

バリオン対称宇宙において

銀河スケールで $\frac{n_B}{s} \sim \pm 10^{-10}$ である可能性は？

軽元素の存在比の観測だけからは否定できない

$T \gg 1 \text{ MeV}$ では、**熱的揺らぎ**で核子・反核子が同数存在

$$\frac{n_b}{s} = \frac{n_{\bar{b}}}{s} = 8 \times 10^{-11} \quad \text{at } T = 38 \text{ MeV}$$

この時、地平線スケール内の全エネルギー $10^{-7} M_{\odot}$
 $\sim H(T)^{-1}$

銀河団の質量 $10^{12} M_{\odot}$

宇宙は元素合成までに

バリオン非対称でなければならない！

インフレーション

- 地平線問題・平坦性問題の解決
- 密度揺らぎの起源

指数関数的膨張後の再加熱

ビッグバン宇宙の全エントロピーを生成

バリオン数非対称性は希釈

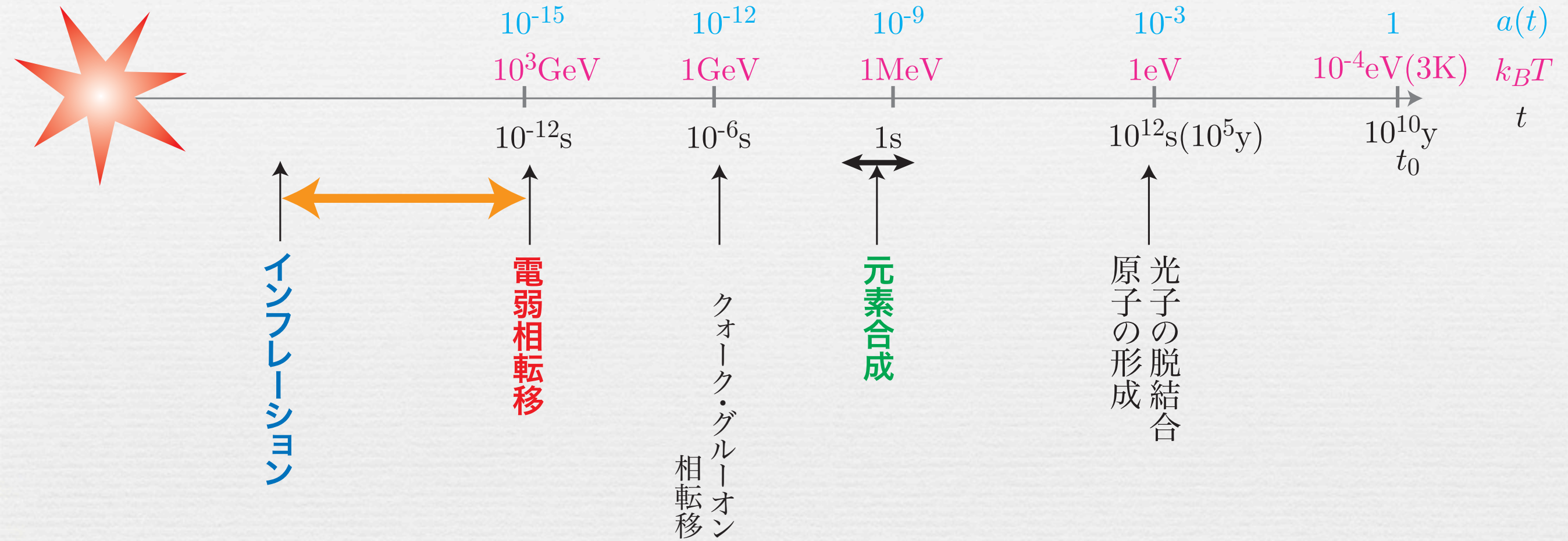
‘宇宙の初期条件’と考えるのは困難

gravitino問題

再加熱温度に上限

GUTs baryogenesis
Leptogenesis

何時バリオン数ができたか



☆インフレーションの再加熱以降

☆バリオン数非保存過程は、電弱相転移以降に無い

バリオン数生成の概観

バリオン対称な宇宙を初期条件として生成するには

Sakharovの3条件

- (1) バリオン数非保存過程
- (2) C と CP 対称性の破れ
- (3) 平衡からのズレ

バリオン数非保存

— 実験では未発見 —

標準理論

\mathcal{L} はglobal $U(1)_B \times U(1)_L$ で不変

アノマリにより $U(1)_{B+L}$ が破れる (後述)

真空では変化率は殆ど0

大統一理論 GUTs

quarkとleptonが1つの多重項
Xボソン (leptoquark)

陽子寿命($\tau_p > 10^{32}y$)から制限

超対称模型

scalar quarkの期待値により自発的に破れる

初期宇宙のある時期にスカラーポテンシャルが...

CとCP対称性の破れ

場のユニタリ変換

P=空間反転(parity)

$$\phi(t, \mathbf{x}) \mapsto \pm\phi(t, -\mathbf{x})$$

$$A_\mu(t, \mathbf{x}) \mapsto (A_0(t, -\mathbf{x}), -\mathbf{A}(t, -\mathbf{x}))$$

$$\psi(t, \mathbf{x}) \mapsto \gamma_0\psi(t, -\mathbf{x})$$

$$\psi_L(x) \rightleftharpoons \psi_R(x)$$

C=荷電共役(charge conjugation)

$$\phi(x) \mapsto \phi^*(x)$$

$$A_\mu(x) \mapsto A_\mu^T(x)$$

$$\psi(x) \mapsto C\bar{\psi}^T(x) = i\gamma^2\gamma^0\bar{\psi}^T(x)$$

$$\begin{pmatrix} \psi_L \\ \psi_R \end{pmatrix} \mapsto \begin{pmatrix} i\sigma_2\psi_R^* \\ -i\sigma_2\psi_L^* \end{pmatrix}$$

$$\psi_L \xrightarrow{CP} \psi_L^*$$

$$\psi_R \xrightarrow{CP} \psi_R^*$$

C対称性の破れ

chiral gauge interaction

$$\bar{u}_L \gamma^\mu d_L W_\mu^+ + \bar{d}_L \gamma^\mu u_L W_\mu^- \quad \left(\frac{1}{6} \bar{u}_L \gamma^\mu u_L + \frac{2}{3} \bar{u}_R \gamma^\mu u_R \right) B_\mu$$

CP対称性の破れ

質量次元4以下の演算子

chiral gauge interactions and Yukawa interactions ($N_f \geq 3$),
scalar trilinear and quartic interactions

Majorana mass term, θ -term

$$\mathcal{L}_{CC} = \frac{g_2}{\sqrt{2}} \left[\bar{u}_{AL} \gamma^\mu V_{AB} d_{BL} W_\mu^+ + \bar{d}_{BL} \gamma^\mu V_{BA}^\dagger u_{AL} W_\mu^- \right]$$

エルミート共役

$$\bar{u}_{AL} \gamma^\mu d_{BL} W_\mu^+ \xrightleftharpoons{CP} \bar{d}_{BL} \gamma^\mu u_{AL} W_\mu^-$$

物理的なCPの破れはパラメータのある組み合わせ

C対称性またはCP対称性があると、 バリオン対称な宇宙にバリオン数は生じない

宇宙の状態を表す密度演算子 $\rho(t) = \sum_n p_n |\psi_n(t)\rangle \langle \psi_n(t)|$

物理量の期待値 $\langle \mathcal{O} \rangle(t) = \text{Tr} [\rho(t) \mathcal{O}]$

時間発展 Liouville方程式: $i \frac{\partial \rho(t)}{\partial t} + [\rho(t), H] = 0$

初期条件 ρ_0 : バリオン対称宇宙 $\langle n_B \rangle_0 = \text{Tr} [\rho_0 n_B] = 0$

解は形式的に ρ_0 と H で書かれる。

● H が C または CP 対称 $[H, C] = [H, CP] = 0$

● バリオン数は C 及び CP で奇

$$C n_B C^{-1} = -n_B \quad CP n_B (CP)^{-1} = -n_B$$

バリオン対称な宇宙 ρ_0 からスタートして、

H が C または CP 対称ならば、 $[\rho, C] = [\rho, CP] = 0$

$$\langle n_B \rangle = \text{Tr}[\rho n_B] = \text{Tr}[\rho C n_B C^{-1}] = -\text{Tr}[\rho n_B] = 0$$

$$\langle n_B \rangle = \text{Tr}[\rho n_B] = \text{Tr}[\rho CP n_B (CP)^{-1}] = -\text{Tr}[\rho n_B] = 0$$

$\langle n_B \rangle \neq 0$ となるには、 C と CP の両方が破れなければならない。

非平衡過程

$$\left. \begin{array}{l} \text{宇宙膨張 } H(t) \\ \text{背景場の変化} \end{array} \right\} \text{の(時間スケール)}^{-1} > \Gamma_{\Delta B \neq 0}$$

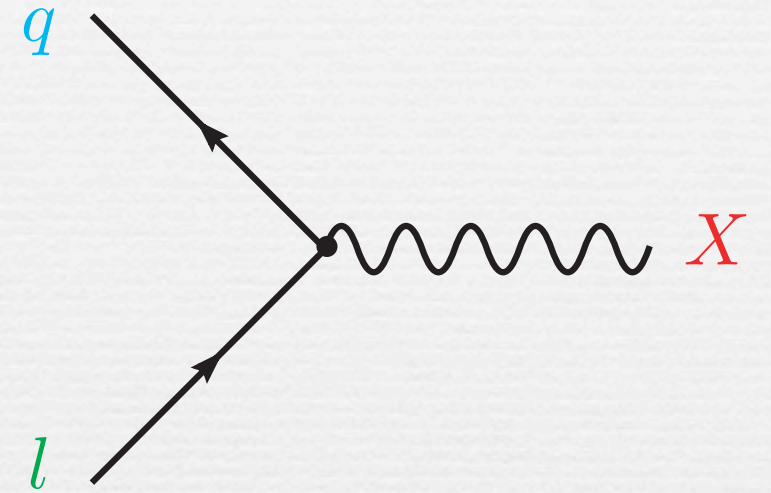
非平衡が成り立たないと、
逆過程も同確率で起こり **washout**

GUT baryogenesis

例 SU(5)模型

$$\text{matter} \begin{cases} 5^* : \psi_L^i & \ni d_R^c, l_L \\ 10 : \chi_{[ij]L} & \ni q_L, u_R^c, e_R^c \end{cases}$$

$$i = 1 - 5 \rightarrow (\alpha = 1 - 3, a = 1, 2)$$



$$\text{gauge} \quad A_\mu = \begin{pmatrix} G_\mu, B_\mu & X_\mu^{\alpha a} \\ X_\mu^{\alpha a} & W_\mu, B_\mu \end{pmatrix}$$

$$\mathcal{L} \ni g \bar{\psi} \gamma^\mu A_\mu \psi + g \text{Tr}[\bar{\chi} \gamma^\mu \{A_\mu, \chi\}]$$

$$\ni g X_{\alpha\mu}^a \left[\epsilon^{\alpha\beta\gamma} \bar{u}_{R\gamma}^c \gamma^\mu q_{L\beta a} + \epsilon_{ab} \left(\bar{q}^{\alpha L b} \gamma^\mu e_R^c + \bar{l}_{Lb} \gamma^\mu d_R^{c\alpha} \right) \right]$$

簡単のため、X粒子の decay channelは右の 4つだけだとする。

過程	分岐比	ΔB
$X \longrightarrow qq$	r	$2/3$
$X \longrightarrow \bar{q}\bar{l}$	$1 - r$	$-1/3$
$\bar{X} \longrightarrow \bar{q}\bar{q}$	\bar{r}	$-2/3$
$\bar{X} \longrightarrow ql$	$1 - \bar{r}$	$1/3$

熱浴から生成された X - \bar{X} 対が崩壊するとき

$$\langle \Delta B \rangle = \frac{2}{3}r - \frac{1}{3}(1-r) - \frac{2}{3}\bar{r} + \frac{1}{3}(1-\bar{r}) = r - \bar{r}$$

CまたはCP保存 $\rightarrow r = \bar{r} \rightarrow \langle \Delta B \rangle = 0$

逆過程がsuppressされるなら、 $B \propto r - \bar{r}$ が生成される。

at $T \simeq m_X$

$$\Gamma_D \simeq \alpha m_X \sim H(T) \simeq 1.66 \sqrt{g_*} \frac{T^2}{m_{\text{Pl}}}$$

$$\alpha \sim \frac{1}{40} \quad g_* = O(100)$$

X粒子の対生成・対消滅が平衡からはずれる。

leptogenesisも同様

バリオン数生成のシナリオ

シナリオ	$\Delta B \neq 0 (\Delta L \neq 0)$	CPの破れ	非平衡状態
GUTs	leptoquarkの崩壊	decay vertex	$\Gamma_D < H(T)$
Electroweak	$(B + L)$ -anomaly	Yukawa, gauge,...	電弱一次相転移
Leptogenesis	heavy- ν の崩壊	decay vertex	$\Gamma_D < H(T)$
Affleck-Dine⁽¹⁾	$\langle \tilde{q} \rangle, \langle \tilde{l} \rangle \neq 0$	scalar potential	scalar場の運動
string, DW⁽²⁾	anomaly	Yukawa, gauge	defectの運動
inflationary⁽³⁾	$\langle \tilde{q} \rangle, \langle \tilde{l} \rangle \neq 0$	scalar potential	(p)reheating

- (1) Affleck and Dine, Nucl. Phys. B249 ('85)
 Dine, Randall and Thomas, Nucl. Phys. B458 ('96)
- (2) Brandenberger and Davis, Phys. Lett. B308 ('93)
 Brandenberger, Davis and Trodden, Phys. Lett. B349 ('94)
- (3) KF, Kakuto, Otsuki and Toyoda, Prog. Theor. Phys. 105 ('01)
 Rangarajan and Nanopoulos, Phys. Rev. D64 ('01)

Sphaleron過程

高温で起こるカイラル・アノマリによる(B+L)非保存過程

アノマリ anomaly=量子異常

古典論にある対称性が量子論の正則化により破られること

保存されるはずのNoether currentが保存されない

sphaleron

場の理論の有限エネルギーを持つ鞍点解

QCDのaxial U(1) anomaly

$$\begin{aligned} \mathcal{L}_{\text{QCD}} &= \sum_{f=1}^N \bar{q}_f i \gamma^\mu \left(\partial_\mu - i g_3 G_\mu^s \frac{\lambda^s}{2} \right) q_f - \frac{1}{4} G_{\mu\nu}^s G^{s\mu\nu} \\ &= \sum_{f=1}^N (\bar{q}_{fL} i \gamma^\mu D_\mu q_{fL} + \bar{q}_{fR} i \gamma^\mu D_\mu q_{fR}) - \frac{1}{4} G_{\mu\nu}^s G^{s\mu\nu} \end{aligned}$$

cf. mass term $-m\bar{\psi}\psi = -m(\bar{\psi}_R\psi_L + \bar{\psi}_L\psi_R)$

global symmetry

$$U(N)_L \times U(N)_R \simeq SU(N)_L \times SU(N)_R \times U(1)_V \times U(1)_A$$

$$\begin{aligned} q_L &\mapsto U_L q_L \\ q_R &\mapsto U_R q_R \end{aligned} \quad q_f \mapsto e^{i\theta\gamma_5} q_f \quad \begin{cases} q_{fL} \mapsto e^{-i\theta} q_{fL} \\ q_{fR} \mapsto e^{i\theta} q_{fR} \end{cases}$$

$$\xrightarrow{\text{Noether}} \partial_\mu j_5^\mu = \partial_\mu \left(\sum_f \bar{q}_f \gamma^\mu \gamma_5 q_f \right) = 0$$

$$\langle \partial_\mu j_5^\mu \rangle = \frac{N g_3^2}{16\pi^2} G_{\mu\nu}^s \tilde{G}^{s\mu\nu} \quad \tilde{G}^{s\mu\nu} \equiv \frac{1}{2} \epsilon^{\mu\nu\rho\sigma} G_{\rho\sigma}^s$$

標準理論では...

$$\begin{aligned} \mathcal{L}_{\text{SM}} = & \bar{q}_{AL} i\gamma^\mu \left(\partial_\mu - ig_2 A_\mu^a \frac{\tau^a}{2} - \frac{i}{6} g_1 B_\mu \right) q_{AL} + \bar{l}_{AL} i\gamma^\mu \left(\partial_\mu - ig_2 A_\mu^a \frac{\tau^a}{2} + \frac{i}{2} g_1 B_\mu \right) l_{AL} \\ & + \bar{u}_{AR} i\gamma^\mu \left(\partial_\mu - \frac{2}{3} ig_1 B_\mu \right) u_{AR} + \bar{d}_{AR} i\gamma^\mu \left(\partial_\mu + \frac{i}{3} g_1 B_\mu \right) d_{AR} \\ & + \bar{e}_{AR} i\gamma^\mu (\partial_\mu + ig_1 B_\mu) e_{AR} + \dots \end{aligned}$$

gauge currentのアノマリは世代毎にキャンセル

B+L currentにアノマリ

currentはvectorlikeだが
gauge couplingはchiral

$$j_B^\mu = \frac{1}{3} (\bar{u}_{AL} \gamma^\mu u_{AL} + \bar{u}_{AR} \gamma^\mu u_{AR} + \bar{d}_{AL} \gamma^\mu d_{AL} + \bar{d}_{AR} \gamma^\mu d_{AR})$$

divergence of the B and L currents

$$\partial_\mu j_{B+L}^\mu = \frac{N_f}{16\pi^2} \left[g_2^2 \text{Tr}(F_{\mu\nu} \tilde{F}^{\mu\nu}) - g_1^2 B_{\mu\nu} B^{\mu\nu} \right]$$

$$\partial_\mu j_{B-L}^\mu = 0$$

2式を足して積分すると

$$\begin{aligned} B(t_f) - B(t_i) &= \frac{N_f}{32\pi^2} \int_{t_i}^{t_f} dt \int d^3\mathbf{x} \left[g_2^2 \text{Tr}(F_{\mu\nu} \tilde{F}^{\mu\nu}) - g_1^2 B_{\mu\nu} \tilde{B}^{\mu\nu} \right] \\ &= N_f [N_{CS}(t_f) - N_{CS}(t_i)] \end{aligned}$$

Chern-Simons number ($A_0 = 0$ -gauge)

$$N_{CS}(t) = \frac{1}{32\pi^2} \int d^3\mathbf{x} \epsilon_{ijk} \left[g_2^2 \text{Tr} \left(F_{ij} A_k - \frac{2}{3} g_2 A_i A_j A_k \right) - g_1^2 B_{ij} B_k \right]_t$$

$N_{CS} \in \mathbf{Z}$ for classical vacua

ゲージ場の真空

$$\mathcal{E} = \frac{1}{2} (\mathbf{E}^2 + \mathbf{B}^2) = 0 \iff \begin{cases} F_{ij}^a = 0 \\ B_{ij} = 0 \end{cases} \iff \begin{cases} A_i^a \frac{\tau^a}{2} = iU(\mathbf{x})^\dagger \partial_i U(\mathbf{x}) \\ B_i = \partial_i \beta(\mathbf{x}) \end{cases}$$

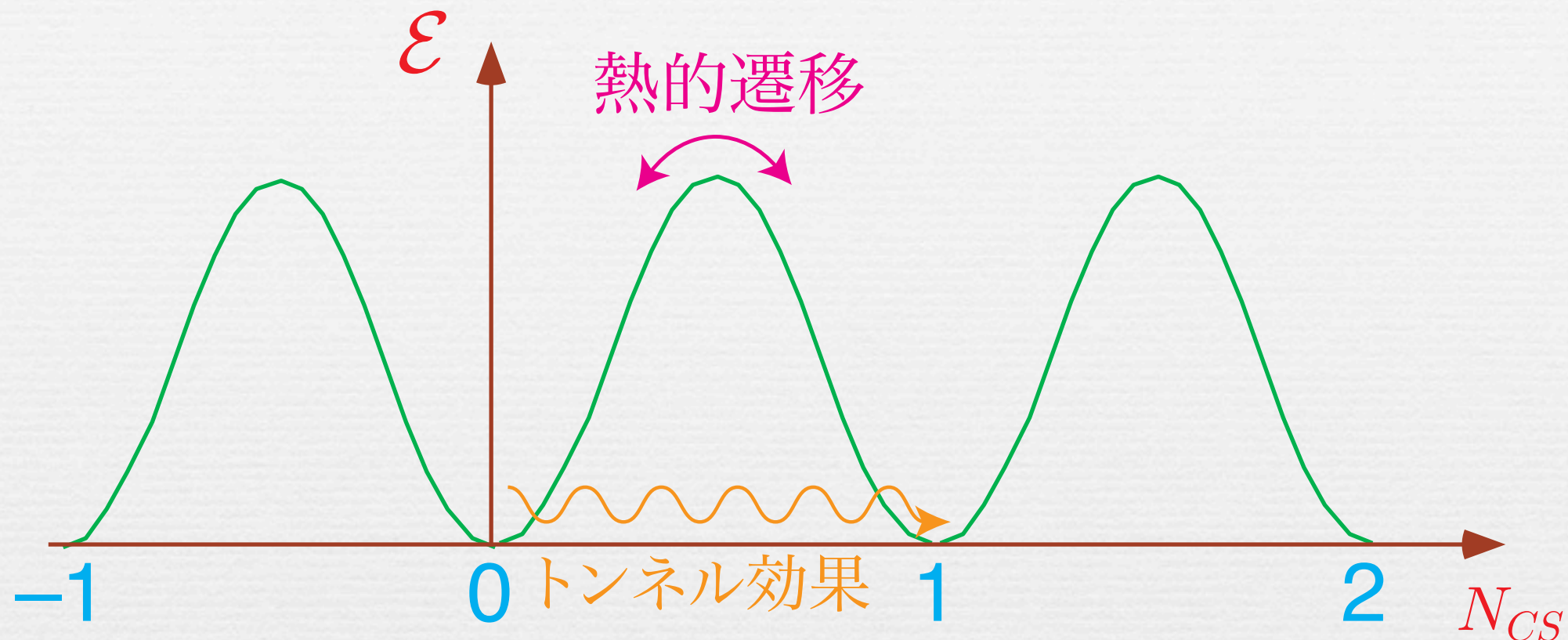
ここで $U(\mathbf{x}) : \mathbf{x} \in S^3 \rightarrow SU(2) \simeq S^3$

$\pi_3(S^3) \simeq \mathbf{Z} \longrightarrow U(\mathbf{x})$ は整数 N_{CS} で分類される

‘winding number’



古典的真空の間の遷移



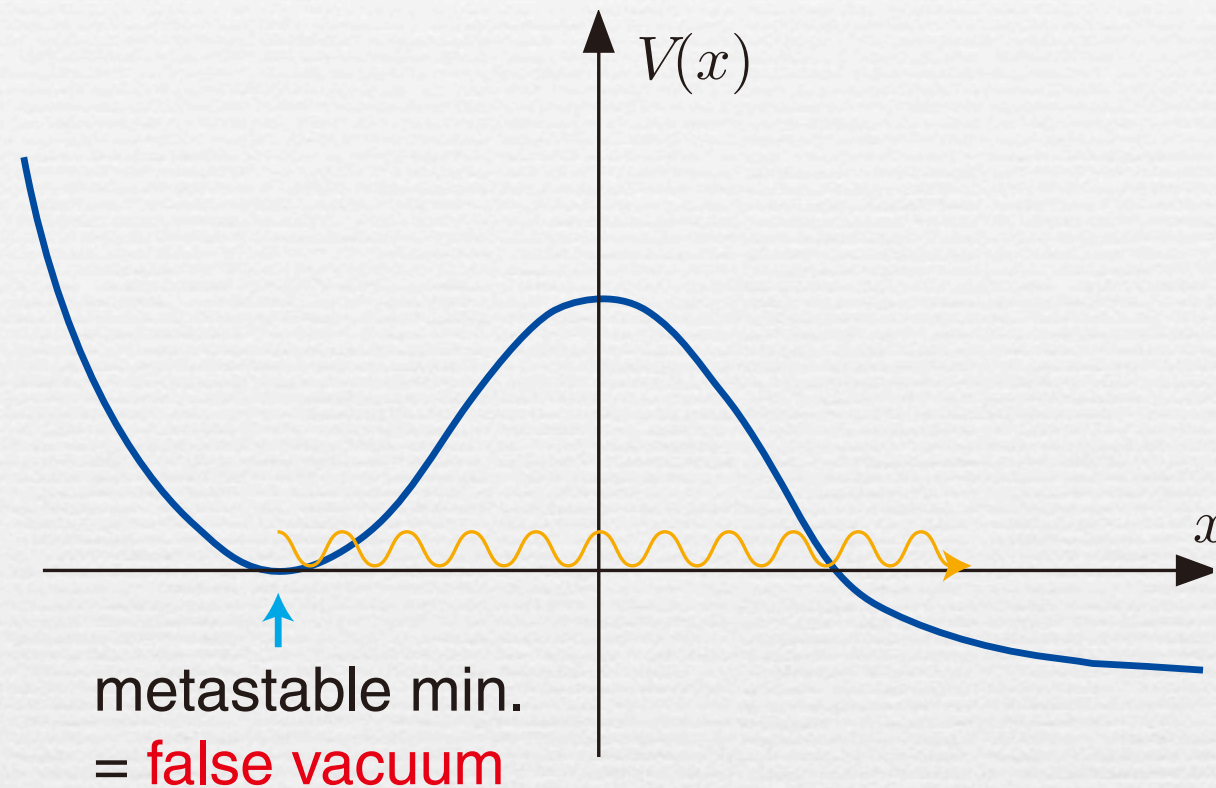
$T = 0$ トンネル確率 $\sim e^{-2S_{\text{instanton}}} = e^{-8\pi^2/g_2^2} \simeq e^{-164} \simeq 0$

$T \neq 0$ 熱的遷移確率 $\sim e^{-E_{\text{sph}}/T}$ $E_{\text{sph}} \propto v(T)$
Higgs場の期待値

陽子崩壊の問題無し

Fate of a false vacuum at finite temperatures

Coleman, 'The Uses of Instantons' in *Aspects of Symmetry*
Affleck, *Phys. Rev. Lett.* 46 (1981) 388



$T = 0$ での崩壊率 $\Gamma \simeq \frac{2}{\hbar} \text{Im} E_0 \simeq \left(\frac{S_{\text{cl}}}{2\pi\hbar} \right)^{1/2} e^{-S_{\text{cl}}/\hbar} [1 + O(\hbar)]$

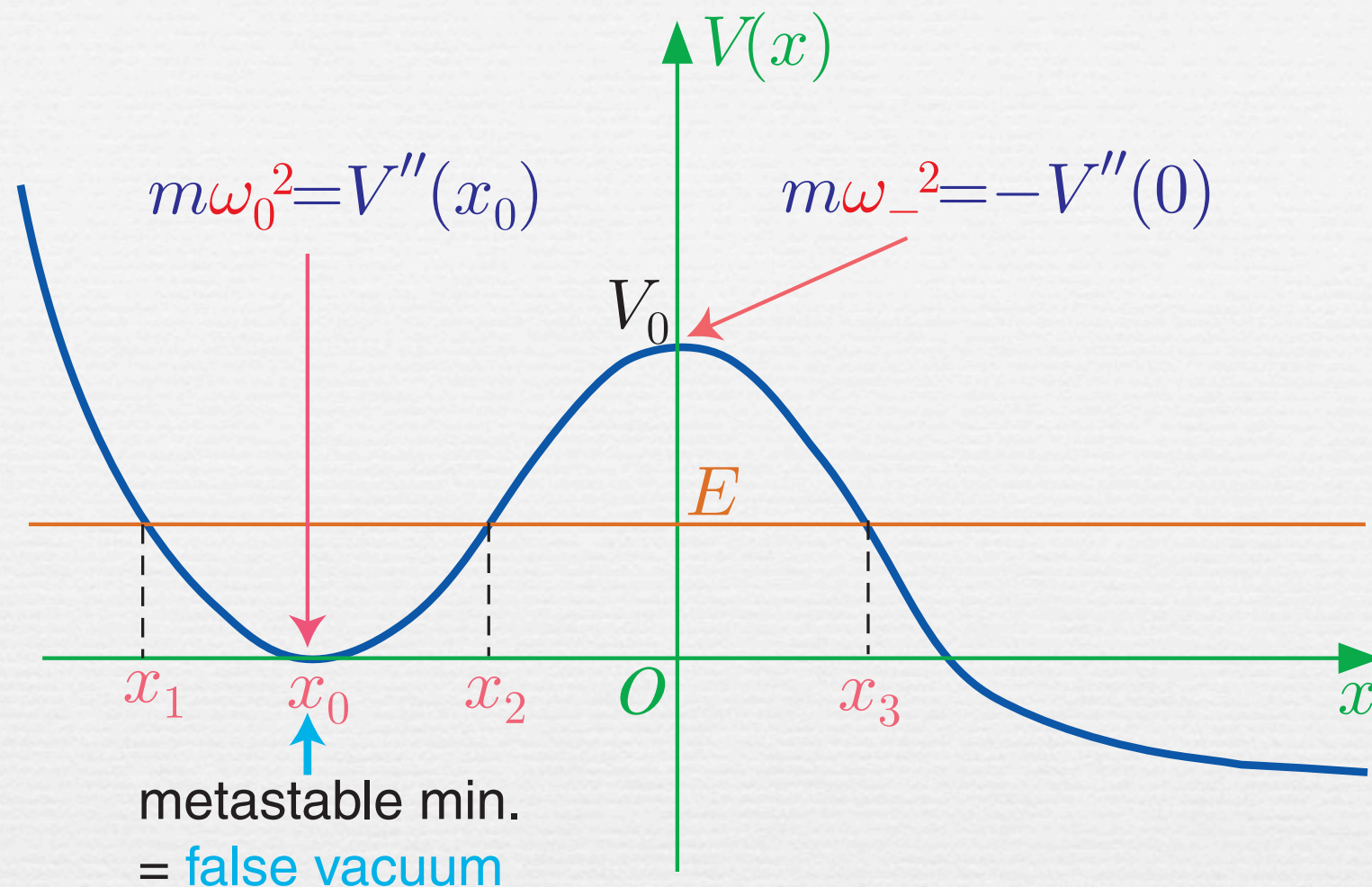
false vacuumに局在化した状態

S_{cl} : bounce action (euclidean)
instanton-anti-instanton pair

有限温度での崩壊率

初期状態: 熱平衡状態
 x_0 の調和振動子

準安定 $\longleftrightarrow \frac{1}{2}\hbar\omega_0, T \ll V_0$



崩壊率の定義

$$\Gamma(T) \equiv \int_0^\infty dE \frac{e^{-E/T}}{Z_0} \Gamma(E)$$

$$Z_0 = \sum_{n=0}^{\infty} e^{-\hbar\omega_0(n+1/2)/T} = \left(2 \sinh \frac{\hbar\omega_0}{2T} \right)^{-1}$$

$$\Gamma(E) = -\frac{i\hbar}{2m} (\psi_E^* \psi_E' - \psi_E'^* \psi_E)$$

$\Gamma(E)$ をWKB近似で計算

低温: linear potential

高温: parabolic potential

$$F = -T \log \text{Tr} \left(e^{-H/T} \right) \quad \text{path integral表示を鞍点法で近似}$$

鞍点

低温: bounce

$$x_b(0) = x_b(1/T)$$

高温: top of the barrier

$$T < \frac{\hbar\omega_-}{2\pi} \quad \Gamma(T) \simeq \frac{2}{\hbar} \text{Im}F \simeq Z_0^{-1} |2\pi\hbar T'(E_0)|^{-1/2} e^{-S[x_b]/\hbar}$$

$T(E)$ = period of the bounce of energy E

$$T > \frac{\hbar\omega_-}{2\pi} \quad \Gamma(T) \simeq \frac{\omega_-}{\pi T} \text{Im}F \simeq Z_0^{-1} \frac{\omega_-}{4\pi \sin(\hbar\omega_-/2T)} e^{-V_0/T}$$

$\text{Im}F$: 場の理論で計算可能

references

経路積分におけるWKB近似 --- トンネル効果

吉川 & 崎田, 経路積分による多自由度の量子力学 (岩波)

Schulman, Techniques and Applications of Path Integration
(日本語訳有り)

古典解のまわりの揺らぎの評価

Rajaraman, Phys. Rep. C21(1975) 4

't Hooft, Phys. Rev. D14 (1976) 3432 (E: D18, 2199)

barrierのtop = **sphaleron configuration**

$\sigma\varphi\alpha\lambda\epsilon\rho\varsigma$ = ready-to-fall, deceitful (偽りの)

cf. a·sphalt

Klinkhamer & Manton, Phys. Rev. D30 ('84)

▶ 場の理論の静的古典解 (エネルギーが局在)

▶ 不安定 揺らぎのスペクトルに1個の負モード

代表的なsphaleron解

4-dim. SU(2) gauge + 1-doublet Higgs Klinkhamer & Manton, Phys. Rev. D30 ('84)

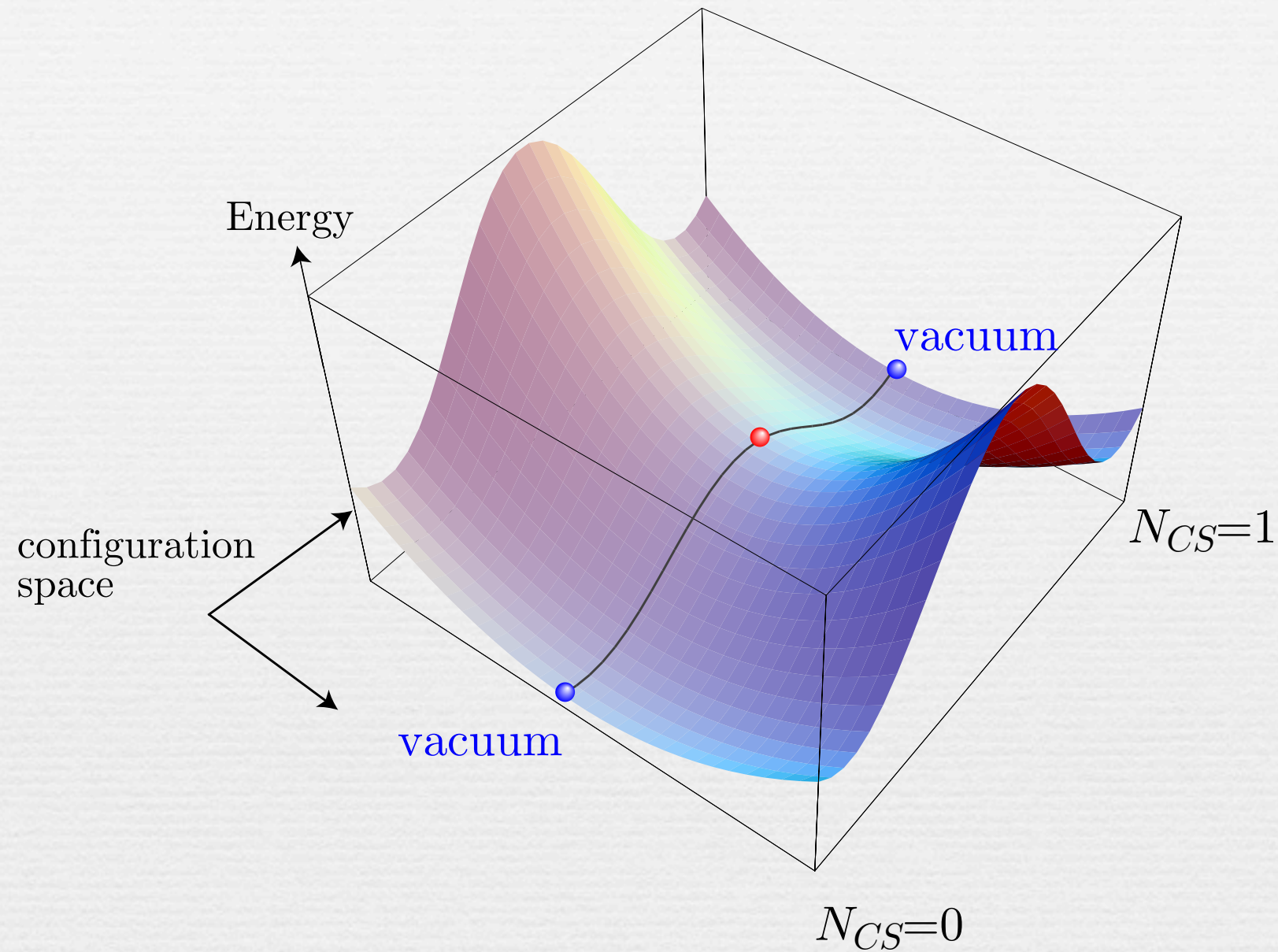
2-dim. U(1) gauge-Higgs model Bocharev & Shaposhnikov, Mod. Phys. Lett. A2 ('87)

2-dim. O(3) nonlinear sigma model Mottola & Wipf, Phys. Rev. D39 ('89)

2-Higgs-Doublet Model Kastening, Peccei and Zhang, Phys. Lett. B266 ('91)

Next-to-MSSM KF, Kakuto, Tao and Toyoda, Prog. Theor. Phys. 114 ('05)

鞍点 = 最小エネルギー経路上の極大エネルギー配位



最小エネルギー経路 / (large) gauge trf. = **noncontractible loop**

↕
球対称配位

場のトポロジー

Manton, Phys. Rev. D28 (1983) 2019

Sphaleron過程による遷移率 [1/体積/時間]

4次元SU(2) gauge-Higgs系(1 doublet) Arnold & McLerran, Phys. Rev. D36 ('87)

broken phase WKB approx. of ImF(T)

$$\Gamma_{\text{sph}}^{(b)}(T) \simeq k \mathcal{N}_{\text{tr}} \mathcal{N}_{\text{rot}} \frac{\omega_-}{2\pi} \left(\frac{\alpha_W(T)T}{4\pi} \right)^3 e^{-E_{\text{sph}}(T)/T}$$

zero modes: $\mathcal{N}_{\text{tr}} = 26$, $\mathcal{N}_{\text{rot}} = 5.3 \times 10^3$ for $\lambda = g^2$

negative modes: $\omega_-^2 \simeq (1.8 - 6.6)m_W^2$ for $10^{-2} \leq \lambda/g^2 \leq 10$
 $k = O(1)$

symmetric phase 次元解析 + 数値解析

$$\Gamma_{\text{sph}}^{(s)}(T) \simeq \kappa (\alpha_W(T)T)^4$$

MC simulation $\longrightarrow \langle N_{CS}(t)N_{CS}(0) \rangle \sim \langle N_{CS} \rangle^2 + Ae^{-\Gamma V t}$

$\kappa = 1.09 \pm 0.04$ SU(2) pure gauge Ambjørn & Krasnitz, Phys. Lett. B362 ('95)

fermion number nonconservation

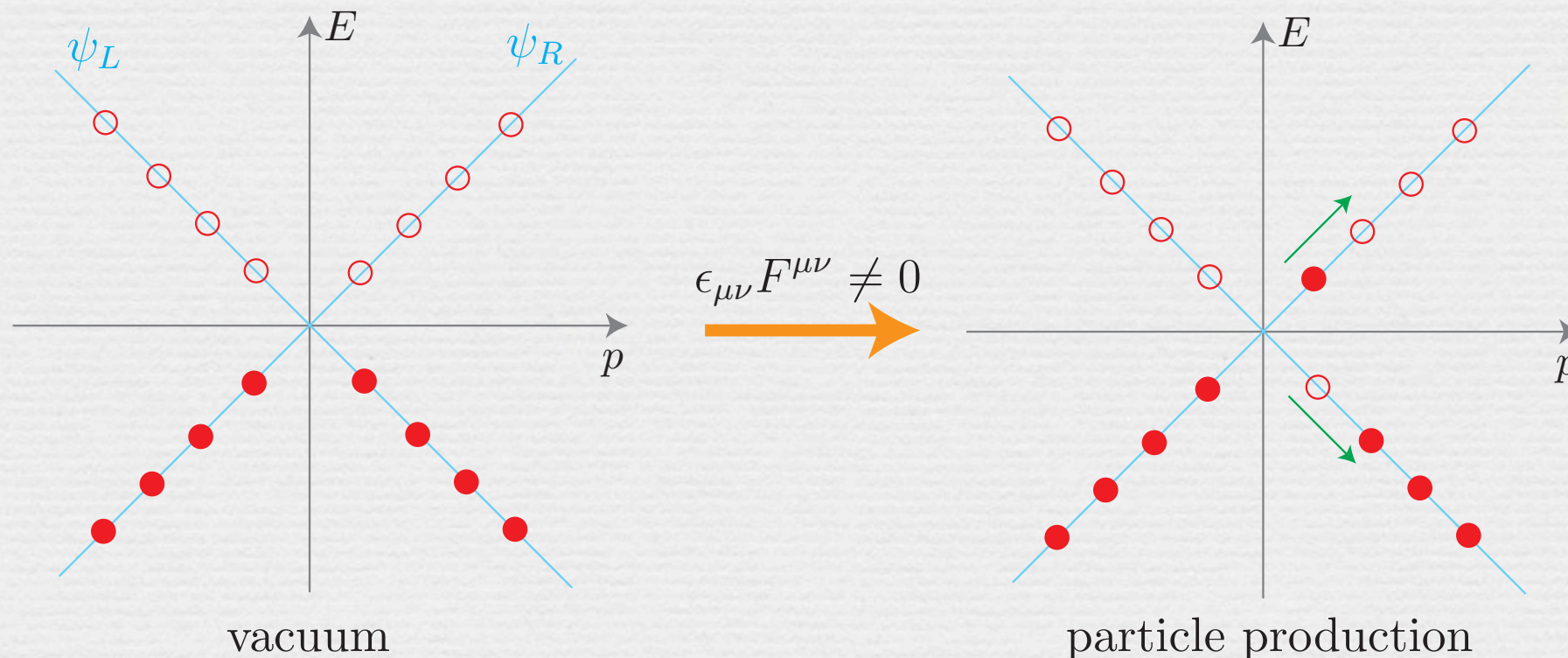
背景場の変化によりフェルミオン数が変化する

Atiyah-Singerの指数定理

$$n_R - n_L = \nu = \frac{g_2^2}{16\pi^2} \int d^4x \text{Tr} \left(F_{\mu\nu} \tilde{F}^{\mu\nu} \right)$$

Pontrjagin index = instanton number

spectral flow (level crossing)



1+1 dim. U(1) gauge theory

scalar場があるとき、instantonとsphaleronの2つの解がある

axial U(1) anomaly

$$\Delta Q_5 = \frac{g}{4\pi} \int_{t_i}^{t_f} dt dx \epsilon_{\mu\nu} F^{\mu\nu} = N_{CS}(t_f) - N_{CS}(t_i)$$

$$N_{CS}(t) = \frac{g}{2\pi} \int dx A_1(t, x)$$

vacuum $A_1(x) = \frac{1}{g} \partial_x \alpha(x)$ with $\alpha(\infty) - \alpha(-\infty) = 2\pi N$
 $e^{i\alpha} \in S^1$

この真空のChern-Simons数は $N_{CS} = N$ $\pi_1(S^1) = \mathbf{Z}$

$N_{CS}(t_f) - N_{CS}(t_i) \neq 0$ の場合にfermionのlevelの変化は?

Dirac方程式 $i\gamma^\mu (\partial_\mu - igA_\mu(x)) \psi(x) = 0$ **b.c.** $\psi(x+L) = \psi(x)$

↓ $A_0 = 0$

$$i\partial_t \psi(x) = H\psi(x) \equiv \boxed{i\sigma_3(\partial_x - igA_1(x))} \psi(x) = \begin{cases} i(\partial_x - igA_1(x))\psi_L(x) \\ -i(\partial_x - igA_1(x))\psi_R(x) \end{cases}$$

t -indep. gauge trf. $\tilde{\psi}(x) = \exp\left(ig \int_0^x dx' A_1(x')\right) \psi(x)$

$H\tilde{\psi}(x) = i\sigma_3 \partial_x \tilde{\psi}(x)$ **自由粒子** $\alpha L = g \int_0^L dx A_1(x)$

但し、b.c.は $\tilde{\psi}(x+L) = e^{ig \int_0^{x+L} dx A_1(x)} \psi(x+L) = e^{i\alpha L} \tilde{\psi}(x)$

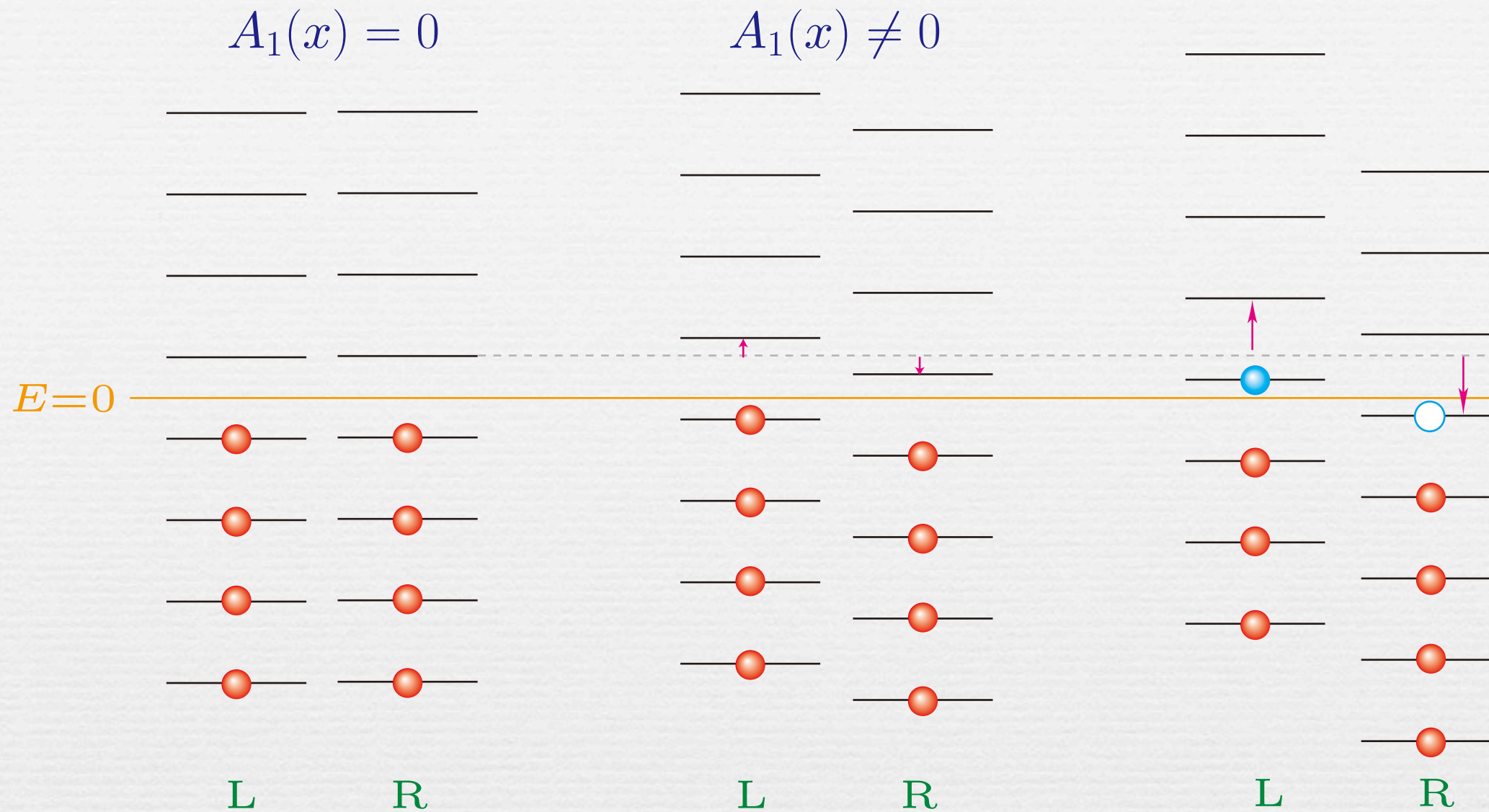
解 $\tilde{\psi}(x) = e^{ipx}$ **with** $p = \frac{2\pi n}{L} + \alpha$

$H\tilde{\psi}_L(x) = +p\tilde{\psi}_L(x)$

$H\tilde{\psi}_R(x) = -p\tilde{\psi}_R(x)$

$N_{CS}(t_f) - N_{CS}(t_i) = 1$

→ $n \rightarrow n+1$ と同じ効果



$$H\tilde{\psi}_L(x) = +p\tilde{\psi}_L(x)$$

$$H\tilde{\psi}_R(x) = -p\tilde{\psi}_R(x)$$

$$\alpha = \frac{g}{L} \int_0^L dx A_1(x)$$

$$p = \frac{2\pi n}{L} + \alpha$$

$$\Delta\alpha \rightarrow \frac{2\pi}{L} \text{ で真空に戻る}$$

Sphaleron process in equilibrium

sphaleron解の有無にかかわらず、有限温度の
B+L 非保存過程を**スファレロン過程**と呼ぶ。

$$\Gamma_{\text{sph}}(T) > H(T) \longrightarrow \text{B+L washout} \quad B \propto (B - L)$$

比例係数は後述

バリオン数を残すには、スファレロン過程が
化学平衡になる前にレプトン数があればよい。

バリオン数生成シナリオの可能性が拡大

レプトン数生成

諸過程が平衡であるときの種々の量子数

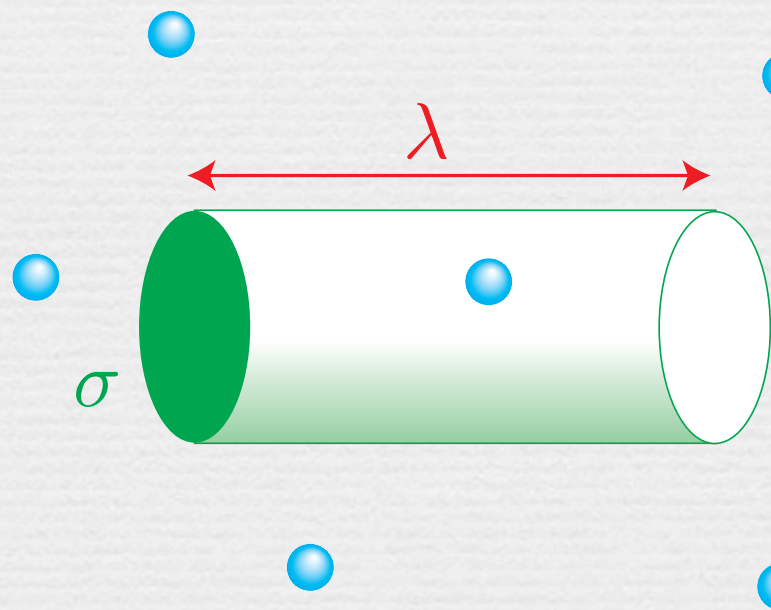
相互作用の時間スケール \bar{t}

相対論的粒子：(反応率) $^{-1} = \bar{t} \simeq \lambda$ mean free path

その粒子の相互作用全断面積 = $\sigma \simeq \frac{\alpha^2}{s} \simeq \frac{\alpha^2}{T^2}$

粒子数密度 = $n(T) \simeq g_{*n} \frac{\zeta(3)}{\pi^2} T^3$

$$g_{*n} = \sum_B g_B + \frac{3}{4} \sum_F g_F$$



$$\sigma \cdot \lambda = \frac{1}{n(T)}$$

$$\bar{t} = \lambda \simeq \frac{10}{g_{*n} T^3} \left(\frac{\alpha^2}{T^2} \right)^{-1} = \frac{10}{g_{*n} \alpha^2 T}$$

放射優勢期 $H(T) = \sqrt{\frac{8\pi G}{3} \rho_r(T)} \simeq 1.66 \sqrt{g_*} \frac{T^2}{m_P}$ $m_P = 1.2 \times 10^{19} \text{GeV}$

@ 100GeV

宇宙膨張の時間スケール $H(T)^{-1} \simeq \frac{m_P}{1.66 \sqrt{g_*} T^2}$ 10^{14}GeV^{-1}

素過程の時間スケール $\bar{t} \simeq \lambda = \frac{1}{\sigma n(T)} \simeq \frac{1}{\alpha^2 T}$ $1 - 10 \text{GeV}^{-1}$
QCD - EW

スファレロン過程 (対称相) $\bar{t}_{\text{sph}}^{(\text{sym})} \simeq \frac{1}{\alpha_W^4 T}$ 10^3GeV^{-1}

スファレロン過程 (非対称相) $\bar{t}_{\text{sph}}^{(\text{br})} \simeq \frac{1}{\alpha_W^4 T} e^{E_{\text{sph}}/T}$

$T = T_C \simeq 100\text{GeV}$ で電弱相転移 $SU(2)_L \times U(1)_Y$ の自発的破れ

$$T > T_C \text{ (対称相)} \quad \bar{t}_{\text{QCD}} < \bar{t}_{EW} < \bar{t}_{\text{sph}}^{(\text{sym})} \ll H(T)^{-1}$$

すべてのゲージ相互作用とスファレロン過程は化学平衡

$$T < T_C \text{ (非対称相)} \quad \bar{t}_{\text{QCD}} < \bar{t}_{EW} \ll H(T)^{-1}$$

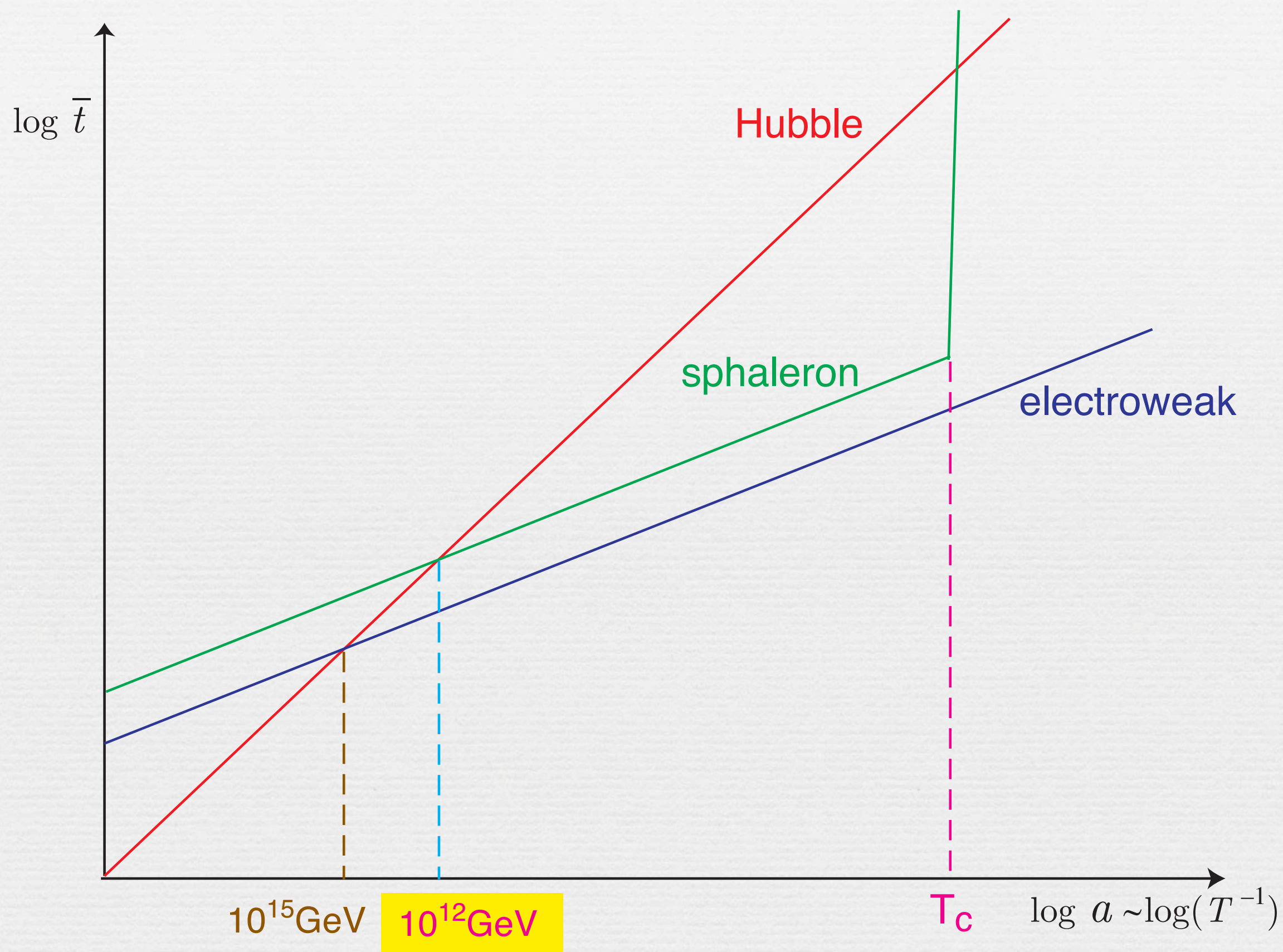
すべてのゲージ相互作用とは化学平衡

相転移直後に $v(T_C) < T_C$ となる場合 弱い一次・二次相転移

$$\exists T_{\text{dec}} < T < T_C \longrightarrow \bar{t}_{\text{sph}}^{(\text{br})} > H(T)^{-1}$$

非対称相でもスファレロン過程が平衡

時間スケールの比較



保存量 Q_i ($[H, Q_i] = 0$) の期待値

$$\{Q_i\} = \{B/N_f - L_A, Q_{em}, \dots\}$$

$$Z(T, \mu) \equiv \text{Tr} \left[e^{-(H - \sum_i \mu_i Q_i)/T} \right]$$

→ $\langle Q_i \rangle(T, \mu) = T \frac{\partial}{\partial \mu_i} \log Z(T, \mu)$ $\{Q_i\}$ と $\{\mu_i\}$ の関係

$Z(T, \mu)$ の計算は困難 (経路積分、非摂動効果)

● 摂動論

Khlebnikov & Shaposhnikov, Phys. Lett. B387 ('96)

Laine & Shaposhnikov, Phys. Rev. D61 ('00)

● 自由場近似

Harvey & Turner, Phys. Rev. D42 ('90)

各粒子の化学ポテンシャル μ を導入し、量子数を μ で表す。

粒子の μ には化学平衡の関係式を課す。



「粒子数」の期待値

$$\langle N \rangle = \langle n \rangle - \langle \bar{n} \rangle = \int \frac{d^3 \mathbf{k}}{(2\pi)^3} \left[\frac{1}{e^{(\omega_k - \mu)/T} \mp 1} - \frac{1}{e^{(\omega_k + \mu)/T} \mp 1} \right]$$

$$\underset{\sim}{\underset{\sim}{|m| \ll T}} \frac{T^3}{2\pi^2} \int_0^\infty dx \left[\frac{x^2}{e^{x - \mu/T} \mp 1} - \frac{x^2}{e^{x + \mu/T} \mp 1} \right]$$

$$\underset{\sim}{\underset{\sim}{|\mu| \ll T}} \begin{cases} \frac{T^3}{3} \cdot \frac{\mu}{T}, & \text{(bosons)} \\ \frac{T^3}{6} \cdot \frac{\mu}{T}, & \text{(fermions)} \end{cases}$$

$$\text{cf. } s = \frac{2\pi^2}{45} g_{*S} T^3 \rightarrow \frac{\langle N \rangle}{s} \sim \frac{|\mu|}{T} \simeq 10^{-10} \ll 1$$

質量の効果

Dreiner & Ross, Nucl. Phys. B410 ('93)

粒子の化学ポテンシャル N_f 世代のフェルミオン, N_H 個のHiggs doublet $\begin{pmatrix} \phi^0 \\ \phi^- \end{pmatrix}$

W^-	$u_{L(R)}$	$d_{L(R)}$	$e_{iL(R)}$	ν_{iL}	ϕ^0	ϕ^-
μ_W	$\mu_{u_{L(R)}}$	$\mu_{d_{L(R)}}$	$\mu_{iL(R)}$	μ_i	μ_0	μ_-

$(3N_f + 7) \mu$'s

Wは横波だけ, HiggsはNG modeもカウント

quark mixingは化学平衡, Lepton flavor conservation

color & charge neutrality : $\mu_{\text{gluon}} = \mu_{Z,\gamma} = 0$

化学平衡の結果

gauge $\mu_W = \mu_{d_L} - \mu_{u_L} = \mu_{iL} - \mu_i = \mu_- + \mu_0$ #(equations)
 $N_f + 2$

Yukawa $\mu_0 = \mu_{u_L} - \mu_{u_R} = \mu_{d_R} - \mu_{d_L} = \mu_{iR} - \mu_{iL}$ $N_f + 2$

$(3N_f + 7) - 2(N_f + 2) = N_f + 3$ の独立な μ $(\mu_W, \mu_0, \mu_{u_L}, \mu_i)$

sphaleron $|0\rangle \Rightarrow \prod_i (u_L d_L d_L \nu_L)_i \longrightarrow N_f(\mu_{u_L} + 2\mu_{d_L}) + \sum_i \mu_i = 0$

量子数密度

$\frac{T^2}{6}$ を単位とする

gauge, Yukawaの化学平衡から

$$B = N_f(\mu_{u_L} + \mu_{u_R} + \mu_{d_L} + \mu_{d_R}) = 4N_f\mu_{u_L} + 2N_f\mu_W,$$

$$L = \sum_i (\mu_i + \mu_{iL} + \mu_{iR}) = 3\mu + 2N\mu_W - N_f\mu_0$$

$$\begin{aligned} Q &= \frac{2}{3}N_f(\mu_{u_L} + \mu_{u_R}) \cdot 3 - \frac{1}{3}N_f(\mu_{d_L} + \mu_{d_R}) \cdot 3 - \sum_i (\mu_{iL} + \mu_{iR}) - 2 \cdot 2\mu_W - 2N_H\mu_- \\ &= 2N_f\mu_{u_L} - 2\mu - (4N_f + 4 + 2N_H)\mu_W + (4N_f + 2N_H)\mu_0 \end{aligned}$$

$$\begin{aligned} I_3 &= \frac{1}{2}N_f(\mu_{u_L} - \mu_{d_L}) \cdot 3 + \frac{1}{2} \sum_i (\mu_i - \mu_{iL}) - 2 \cdot 2\mu_W - 2 \cdot \frac{1}{2}N_H(\mu_0 + \mu_-) \\ &= -(2N_f + N_H + 4)\mu_W \end{aligned}$$

ここで $\mu \equiv \sum_i \mu_i$

sphaleron化学平衡を課すと $N_f(2\mu_L + \mu_W) + \mu = 0$

→ 量子数密度は (μ_W, μ, μ_0) で表される

★ $T > T_C$ (symmetric phase)

$Q = I_3 = 0$ を要請 ($\mu_W = 0$)

$$B = \frac{8N_f + 4N_H}{22N_f + 13N_H} (B - L), \quad L = -\frac{14N_f + 9N_H}{22N_f + 13N_H} (B - L)$$

★ $T < T_C$ (broken phase)

$Q = 0$ and $\mu_0 = 0$ ($\because \phi^0$ condensates)

$$B = \frac{8N_f + 4(N_H + 2)}{24N_f + 13(N_H + 2)} (B - L), \quad L = -\frac{16N + f + 9(N_H + 2)}{24N_f + 13(N_H + 2)} (B - L)$$

何れにせよ、

$$(B - L)_{\text{primordial}} = 0$$



$$B = L = 0$$

現在の宇宙に物質が存在するためには、

- (i) スファレロン過程が脱結合する前に、**B-Lが存在する。**
- (ii) B+Lを電弱一次相転移で生成し、且つ、
その後直ちにスファレロン過程が無効になる。

のいずれかでなければならない。

- (i) → **Leptogenesis**, (B-L)-violating GUTs, Affleck-Dine, ...
- (ii) → **Electroweak Baryogenesis**

Leptogenesis

heavy Majorana neutrinoの崩壊によるレプトン数生成

thermal leptogenesis

heavy Majorana neutrinoが初期宇宙の高温状態で作られる

最高温度 = Reheating temperature $T_R < 10^{7-10} \text{ GeV}$

gravitino problem

レプトン数の計算法は、GUT baryogenesisと同じ

nonthermal leptogenesis

heavy Majorana neutrinoをinflatonのdecayまたはpreheatingで作る

以下ではthermal leptogenesisを紹介

review articles

- Buchmüller, Di Bari and Plümacher, *Ann. Phys.* 315 (2005) 305
- Davidson, Nardi and Nir, *Phys. Rep.* 466 (2008) 105
- Pilaftsis, *J. Phys. Conf. Ser.* 171 (2009) 012017 [hep-ph/0904.1182]
- Buchmüller, Peccei and Yanagida, *Ann.Rev.Nucl.Part.Sci.*55 (2005) 311 [hep-ph/0502169]

Boltzmann eq.についてはGUT- baryogenesisの論文

- Kolb and Wolfram, *Nucl. Phys.* B172 (1980) 224 [Erratum: B195 (1982) 542]
- Harvey, Kolb, Reiss and Wolfram, *Nucl. Phys.* B201 (1982) 16

LSP abundance (CDM)の計算

- Gondolo, Edsjö, Ullio, Bergström, Schelke and Baltz, *JCAP* 0407 ('04) [hep-ph/0406204]
Dark SUSY <http://www.physto.se/~edsjo/darksusy/>

ニュートリノ質量とレプトン数の破れ

標準理論のニュートリノ $\in SU(2)$ -doublet $l_{AL} = \begin{pmatrix} \nu_{AL} \\ e_{AL} \end{pmatrix} \in \left(2, -\frac{1}{2}\right)$
($A = e, \nu, \tau$: flavor)

ゲージ不変な湯川結合 + SSBで質量が生じない

ニュートリノ振動の発見により、質量は必要！

gauge singlet N_R を加えてYukawa項を組む

$$\mathcal{L}_Y = -y_{AB} \Phi^\dagger \bar{e}_{BR} l_{AL} - h_{AB} \tilde{\Phi}^\dagger \bar{N}_{BR} l_{AL} + \text{h.c.}$$



SSB

$$\Phi = \begin{pmatrix} \phi^+ \\ \phi^0 \end{pmatrix} \in \left(2, \frac{1}{2}\right) \quad \tilde{\Phi} = i\tau_2 \Phi^*$$

$$\mathcal{L}_Y \sim -y_{AB} v_0 \bar{e}_{BR} e_{AL} - h_{AB} v_0 \bar{N}_{BR} \nu_{AL} + \text{h.c.}$$

y, h は任意の $N_f \times N_f$ 複素行列

e_L と e_R , ν_L と N_R の bi-unitary transformation で y と h を対角化

$$\mathcal{L}_Y \sim -m_A^{(e)} (\bar{e}_{AR} e_{AL} + \bar{e}_{AL} e_{AR}) - m_A^{(\nu)} (\bar{N}_{AR} \nu_{AL} + \bar{\nu}_{AL} N_{AR})$$

$$\sim -m_A^{(e)} \bar{e}_A e_A - m_A^{(\nu)} \bar{\nu}_A \nu_A$$

4成分スピノール $e_A = \begin{bmatrix} e_{AL} \\ e_{AR} \end{bmatrix}$, $\nu_A = \begin{bmatrix} \nu_{AL} \\ N_{AR} \end{bmatrix}$ chiral repr. $\gamma_5 = \begin{pmatrix} -1 & 0 \\ 0 & 1 \end{pmatrix}$

Dirac mass term Lepton numberは保存

不自然なくらい $m^{(e)} \gg m^{(\nu)}$ $[\sum_i m_i^{(\nu)} < 1.0\text{eV: WMAP+SDSS}]$

ゲージ不変性と矛盾せずに N_R の Majorana mass term を導入できる

$$\mathcal{L}_Y = -y_{AB} \Phi^\dagger \bar{e}_{BR} l_{AL} - h_{AB} \tilde{\Phi}^\dagger \bar{N}_{BR} l_{AL} - \frac{1}{2} M_{AB} \bar{N}_{BR} N_{AR}^c + \text{h.c.}$$

$$\longrightarrow \frac{1}{2} (\nu_L \ \bar{N}_R) \begin{pmatrix} 0 & m_D^T \\ m_D & M \end{pmatrix} \begin{pmatrix} \nu_L \\ N_R^c \end{pmatrix} + \text{h.c.}$$

N_R^c は Left-handed

$$m_D = h v_0$$

固有値 $\simeq -\frac{m_D^2}{M}, M$

Seesaw Mechanism

レプトン数 $L(l_L) = L(e_R) = 1$

$$\mathcal{L}_Y = -y_{AB} \Phi^\dagger \underline{\bar{e}_{BR} l_{AL}} - h_{AB} \tilde{\Phi}^\dagger \bar{N}_{BR} l_{AL} - \frac{1}{2} M_{AB} \bar{N}_{BR} N_{AR}^c + \text{h.c.}$$

$L = 0$

$$L(N_R) = 1$$

$$L = 0$$

$$L = -2$$

$$L(N_R) = 0$$

$$L = 1$$

$$L = 0$$

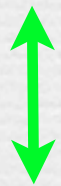
$h \neq 0$ 且つ $M \neq 0$ \longrightarrow Lepton number violation

Leptogenesis

high-T

$$\langle \Phi \rangle (T) = 0$$

Dirac mass=0



Low-energy observables

$$\langle \Phi \rangle \neq 0$$

neutrino oscillation

Dirac mass, Majorana mass, mixing

生成されるレプトン数の評価

$T \simeq M_R \gg 100\text{GeV}$ の電弱対称相 $\left\{ \begin{array}{l} \text{gauge boson, lepton は massless} \\ \text{Higgs boson は全て同じ質量} \ll T \end{array} \right.$

(i) レプトン数非保存 $\mathcal{L}_Y = -h_{AB} \tilde{\Phi}^\dagger \bar{N}_{BR} l_{AL} - \frac{1}{2} M_{AB} \bar{N}_{BR} N_{AR}^c + \text{h.c.}$
 $h \neq 0$ and $M \neq 0$

(ii) C and CP violation M を対角化する基底で h の複素位相

$SU(2)$ symmetry $\left\{ \begin{array}{l} \Gamma(N_A \rightarrow e_B^- \phi^+) = \Gamma(N_A \rightarrow \nu_B \phi^0) \equiv \Gamma(N_A \rightarrow l_B \phi) \\ \Gamma(N_A \rightarrow e_B^+ \phi^-) = \Gamma(N_A \rightarrow \bar{\nu}_B \phi^{0*}) \equiv \Gamma(N_A \rightarrow \bar{l}_B \bar{\phi}) \end{array} \right.$

total decay asym.

$$\varepsilon_A \equiv \frac{\sum_B \Gamma(N_A \rightarrow l_B \phi) - \sum_B \Gamma(N_A \rightarrow \bar{l}_B \bar{\phi})}{\sum_B \Gamma(N_A \rightarrow l_B \phi) + \sum_B \Gamma(N_A \rightarrow \bar{l}_B \bar{\phi})}$$

(iii)非平衡状態

N_R の分布関数が平衡分布からずれる

$T \simeq M_R$ から, 崩壊率($\Gamma \sim h^2 M_R$) $\simeq H(T)$ となる範囲

空間的に一様な現象 \longrightarrow 各粒子の分布関数 $f_i(t, \mathbf{p})$
に対する Boltzmann 方程式

共動座標系で

$$\frac{dn_\psi(t)}{dt} + 3H(t)n_\psi(t) = - \sum_{i,j,\dots} [\gamma(\psi \rightarrow i + j + \dots) - \gamma(i + j + \dots \rightarrow \psi)] \\ - \sum_{a,i,j,\dots} [\gamma(\psi + a \rightarrow i + j + \dots) - \gamma(i + j + \dots \rightarrow \psi + a)]$$

$$n_\psi(t) = \int \frac{d^3 \mathbf{p}}{(2\pi)^3} f_\psi(t, \mathbf{p})$$

$\gamma(\psi \rightarrow i + j + \dots)$ は f_ψ 等を使って得られた反応率

$$\begin{aligned}
& \gamma(\psi + a + b + \dots \rightarrow i + j + \dots) \\
&= \int d\tilde{\mathbf{p}}_\psi d\tilde{\mathbf{p}}_a \cdots d\tilde{\mathbf{p}}_j (2\pi)^4 \delta^4(p_\psi + p_a + \cdots - p_i - p_j - \cdots) \\
&\quad \times |\mathcal{M}(\psi + a + b + \dots \rightarrow i + j + \dots)|^2 f_\psi f_a f_b \cdots (1 \pm f_i)(1 \pm f_j) \cdots
\end{aligned}$$

$$d\tilde{\mathbf{p}} \equiv \frac{d^3\mathbf{p}}{(2\pi)^3 2E_{\mathbf{p}}} \qquad \pm = \begin{cases} \text{boson} \\ \text{fermion} \end{cases}$$

1. 平衡状態では Boltzmann 方程式の右辺 = 0

2. CP 対称性があると、粒子数は時間変化しない

を示すことができる。

1. 平衡状態では

エネルギー保存より

$$1 \pm \frac{1}{e^{\beta E} \mp 1} = \frac{e^{\beta E}}{e^{\beta E} \mp 1}$$

$$\begin{aligned} f_{\psi}^{\text{eq}}(1 \pm f_i^{\text{eq}})(1 \pm f_j^{\text{eq}}) \cdots &= \frac{1}{e^{\beta E_{\psi}} \mp 1} \frac{e^{\beta E_i}}{e^{\beta E_i} \mp 1} \frac{e^{\beta E_j}}{e^{\beta E_j} \mp 1} \cdots \\ &= \frac{e^{\beta E_{\psi}}}{e^{\beta E_{\psi}} \mp 1} \frac{1}{e^{\beta E_i} \mp 1} \frac{1}{e^{\beta E_j} \mp 1} \cdots = f_i^{\text{eq}} f_j^{\text{eq}} \cdots (1 \pm f_{\psi}^{\text{eq}}) \end{aligned}$$

これから

$$\begin{aligned} &\gamma(\psi \rightarrow i + j + \cdots) - \gamma(i + j + \cdots \rightarrow \psi) \\ &= \int d\tilde{\mathbf{p}}_{\psi} d\tilde{\mathbf{p}}_i \cdots (2\pi)^4 \delta^4(p_{\psi} - p_i - p_j - \cdots) \underbrace{f_{\psi}^{\text{eq}}(1 \pm f_i^{\text{eq}})(1 \pm f_j^{\text{eq}}) \cdots}_{\text{unitarity} \rightarrow 0} \\ &\quad \times \left[|\mathcal{M}(\psi \rightarrow i + j + \cdots)|^2 - |\mathcal{M}(i + j + \cdots \rightarrow \psi)|^2 \right] \end{aligned}$$

unitarity $\rightarrow 0$

Kolb and Wolfram, Nucl. Phys. B172, Appendix

2. CP対称性があるとき

$$f_\psi(t) = f_{\bar{\psi}}(t), \mathcal{M}(\alpha \rightarrow \beta) = \mathcal{M}(\bar{\alpha} \rightarrow \bar{\beta})$$

$n_\psi - n_{\bar{\psi}}$ に対するBoltzmann方程式の右辺に現れる量:

$$\begin{aligned} & \frac{[\gamma(\psi \rightarrow i + j + \dots) - \gamma(i + j + \dots \rightarrow \psi)] - [\gamma(\bar{\psi} \rightarrow \bar{i} + \bar{j} + \dots) - \gamma(\bar{i} + \bar{j} + \dots \rightarrow \bar{\psi})]}{=} \\ &= \int d\tilde{\mathbf{p}}_\psi \dots (2\pi)^4 \delta^4(p_\psi - p_i - p_j - \dots) \\ & \quad \times \left\{ \left[\underbrace{|\mathcal{M}(\psi \rightarrow i + j + \dots)|^2}_{\text{cyan}} - \underbrace{|\mathcal{M}(\bar{\psi} \rightarrow \bar{i} + \bar{j} + \dots)|^2}_{\text{magenta}} \right] f_\psi (1 \pm f_i)(1 \pm f_j) \dots \right. \\ & \quad \left. - \left[\underbrace{|\mathcal{M}(i + j + \dots \rightarrow \psi)|^2}_{\text{cyan}} - \underbrace{|\mathcal{M}(\bar{i} + \bar{j} + \dots \rightarrow \bar{\psi})|^2}_{\text{magenta}} \right] f_i f_j \dots (1 \pm f_\psi) \right\} \\ &= 0 \end{aligned}$$

Boltzmann方程式の解法

分布関数 $f(t, \mathbf{p})$ に対する方程式 \rightarrow 粒子数密度 $n(t)$ に対する方程式

$$f(t, \mathbf{p}) = \frac{n(t)}{n^{\text{eq}}} f^{\text{eq}}(\mathbf{p})$$

#(弾性散乱) \gg #(非弾性散乱) ?

最近は、 p -dep. を入れた計算も

‘integrated Boltzmann equation’

$$\dot{n}_\psi(t) + 3H(t)n(t)$$

$$= - \sum_{i,j,\dots} \left[\frac{n_\psi}{n_\psi^{\text{eq}}} \gamma^{\text{eq}}(\psi \rightarrow i + j + \dots) - \frac{n_i n_j \dots}{n_i^{\text{eq}} n_j^{\text{eq}} \dots} \gamma^{\text{eq}}(i + j + \dots \rightarrow \psi) \right]$$
$$- \sum_{a,i,\dots} \left[\frac{n_\psi n_a}{n_\psi^{\text{eq}} n_a^{\text{eq}}} \gamma^{\text{eq}}(\psi + a \rightarrow i + j + \dots) - \frac{n_i n_j \dots}{n_i^{\text{eq}} n_j^{\text{eq}} \dots} \gamma^{\text{eq}}(i + j + \dots \rightarrow \psi + a) \right]$$

$\gamma^{\text{eq}}(\dots) =$ 平衡分布 $f^{\text{eq}}(\mathbf{p})$ で計算した $\gamma(\dots)$

変数変換

$Y_\psi \equiv \frac{n_\psi}{s}$ により空間膨張の効果を消す

$$\dot{n}_\psi(t) + 3H(t)n_\psi(t) = s\dot{Y}_\psi(t)$$

$$s = \frac{2\pi^2}{45} g_* s T^3 \text{ より } \dot{s} = \frac{3}{T} \frac{dT}{dt} s = 3s \frac{d \log T}{dt}$$

t と T の関係 $a(t) \propto t^{1/2} \propto T^{-1}$ \longrightarrow $\frac{d \log T}{dt} = -\frac{1}{2t}$
[放射優勢宇宙] $H(t) = \frac{\dot{a}(t)}{a(t)} = \frac{1}{2t}$

これらから $\dot{s} = -3sH(t)$

$$\therefore \dot{n}_\psi = s\dot{Y}_\psi + \dot{s}Y_\psi = s\dot{Y}_\psi - 3H(t)sY_\psi$$

$t \rightarrow z = \frac{M}{T}$: 無次元変数

$M =$ the smallest N_R mass
最後に崩壊

t の増加 $\leftrightarrow T$ の減少 $\leftrightarrow z$ の増加

$$\begin{aligned} \frac{d}{dt} &= -\frac{M}{T^2} \frac{dT}{dt} \frac{d}{dz} = -z \frac{d \log T}{dt} \frac{d}{dz} = H(t) z \frac{d}{dz} = \left(\frac{4\pi^3}{45} g_* \right)^{1/2} \frac{T^2}{m_{\text{Pl}}} z \frac{d}{dz} \\ &= \left(\frac{4\pi^3}{45} g_* \right)^{1/2} \frac{M^2}{m_{\text{Pl}}} \frac{1}{z} \frac{d}{dz} \end{aligned}$$

これにより

$$\begin{aligned} s \frac{dY_\psi}{dt} &= \left(\frac{4\pi^3}{45} g_* \right)^{1/2} \frac{2\pi^2}{45} g_* T^3 \frac{M^2}{m_{\text{Pl}}} \frac{1}{z} \frac{dY_\psi}{dz} = \left(\frac{2\pi^2}{45} g_* \right)^{3/2} \sqrt{2\pi} \frac{M^5}{m_{\text{Pl}}} \frac{1}{z^4} \frac{dY_\psi}{dz} \\ &\equiv C M^4 \frac{1}{z^4} \frac{dY_\psi}{dz} \end{aligned}$$

$$C = \sqrt{2\pi} \left(\frac{2\pi^2}{45} g_* \right)^{3/2} \frac{M}{m_{\text{P}}} : \text{無次元定数}$$

integrated Boltzmann equation

$$\begin{aligned} C \frac{M^4}{z^4} \frac{dY_\psi}{dz} &= - \sum_{i,j,\dots} \left[\frac{Y_\psi}{Y_\psi^{\text{eq}}} \gamma^{\text{eq}}(\psi \rightarrow i + j + \dots) - \frac{Y_i Y_j \dots}{Y_i^{\text{eq}} Y_j^{\text{eq}} \dots} \gamma^{\text{eq}}(i + j + \dots \rightarrow \psi) \right] \\ &\quad - \sum_{a,i,\dots} \left[\frac{Y_\psi Y_a}{Y_\psi^{\text{eq}} Y_a^{\text{eq}}} \gamma^{\text{eq}}(\psi + a \rightarrow i + j + \dots) - \frac{Y_i Y_j \dots}{Y_i^{\text{eq}} Y_j^{\text{eq}} \dots} \gamma^{\text{eq}}(i + j + \dots \rightarrow \psi + a) \right] \end{aligned}$$

leptogenesisでは

$(\psi, a, i, j) = (N_A, l, \bar{l}, \phi, \bar{\phi})$ として連立Boltzmann方程式を解く

平衡状態での粒子数密度

$$T \gg m_\phi, m_l = 0$$

$$n_l^{\text{eq}} = n_{\bar{l}}^{\text{eq}} = \frac{\zeta(3)}{\pi^2} \left(\frac{3}{4} \times 3_{\text{gen}} \times 2_{\text{isospin}} \right) T^3, \quad n_\phi^{\text{eq}} = n_{\bar{\phi}}^{\text{eq}} = \frac{\zeta(3)}{\pi^2} \cdot 2 \cdot T^3$$

N_R は脱結合の効果を見るので質量を入れて

$$f_N^{\text{eq}}(\mathbf{p}) \simeq e^{-E_p/T}$$

$$\begin{aligned} n_N^{\text{eq}} &= 2 \int \frac{d^3 \mathbf{p}}{(2\pi)^3} e^{-\sqrt{\mathbf{p}^2 + M^2}/T} = 2 \cdot \frac{T^3}{2\pi^2} \int_0^\infty dx x^2 e^{-\sqrt{x^2 + z^2}} \\ &= 2 \cdot \frac{T^3}{2\pi^2} z^2 K_2(z) \end{aligned}$$

$$z = M/T$$

$K_2(z)$: modified Bessel function

$$C \frac{M^4}{z^4} \frac{dY_{N_A}}{dz} = -\frac{Y_{N_A}}{Y_{N_A}^{\text{eq}}} [\gamma^{\text{eq}}(N_A \rightarrow l\phi) + \gamma^{\text{eq}}(N_A \rightarrow \bar{l}\bar{\phi})] \\ + \frac{Y_l Y_\phi}{Y_l^{\text{eq}} Y_\phi^{\text{eq}}} \gamma^{\text{eq}}(l\phi \rightarrow N_A) + \frac{Y_{\bar{l}} Y_{\bar{\phi}}}{Y_{\bar{l}}^{\text{eq}} Y_{\bar{\phi}}^{\text{eq}}} \gamma^{\text{eq}}(\bar{l}\bar{\phi} \rightarrow N_A)$$

$$C \frac{M^4}{z^4} \frac{dY_l}{dz} = \frac{Y_{N_A}}{Y_{N_A}^{\text{eq}}} \gamma^{\text{eq}}(N_A \rightarrow l\phi) - \frac{Y_l Y_\phi}{Y_l^{\text{eq}} Y_\phi^{\text{eq}}} \gamma^{\text{eq}}(l\phi \rightarrow N_A) \\ + \frac{Y_{\bar{l}} Y_{\bar{\phi}}}{Y_{\bar{l}}^{\text{eq}} Y_{\bar{\phi}}^{\text{eq}}} \gamma^{\text{eq}}(\bar{l}\bar{\phi} \rightarrow l\phi) - \frac{Y_l Y_\phi}{Y_l^{\text{eq}} Y_\phi^{\text{eq}}} \gamma^{\text{eq}}(l\phi \rightarrow \bar{l}\bar{\phi})$$

$$C \frac{M_i^4}{z^4} \frac{dY_{\bar{l}}}{dz} = \frac{Y_{N_A}}{Y_{N_A}^{\text{eq}}} \gamma^{\text{eq}}(N_A \rightarrow \bar{l}\bar{\phi}) - \frac{Y_{\bar{l}} Y_{\bar{\phi}}}{Y_{\bar{l}}^{\text{eq}} Y_{\bar{\phi}}^{\text{eq}}} \gamma^{\text{eq}}(\bar{l}\bar{\phi} \rightarrow N_A) \\ - \frac{Y_{\bar{l}} Y_{\bar{\phi}}}{Y_{\bar{l}}^{\text{eq}} Y_{\bar{\phi}}^{\text{eq}}} \gamma^{\text{eq}}(\bar{l}\bar{\phi} \rightarrow l\phi) + \frac{Y_l Y_\phi}{Y_l^{\text{eq}} Y_\phi^{\text{eq}}} \gamma^{\text{eq}}(l\phi \rightarrow \bar{l}\bar{\phi})$$

$Y_\phi, Y_{\bar{\phi}}$ についても同様

γ^{eq} の計算 $[f^{\text{eq}} \simeq e^{-E/T}, 1 \pm f^{\text{eq}} \simeq 1]$

$$\begin{aligned} \gamma^{\text{eq}}(N \rightarrow l\phi) &= \int d\tilde{\mathbf{p}}_1 \cdots f_N^{\text{eq}}(\mathbf{p}_1) (2\pi)^4 \delta^4(p_1 - p_2 - p_3) |\mathcal{M}(N \rightarrow l\phi)|^2 \\ &= \int \frac{d^3\mathbf{p}_1}{(2\pi)^3 2E_1} e^{-E_1/T} \int \frac{d^3\mathbf{p}_2}{(2\pi)^3 2E_2} \frac{d^3\mathbf{p}_3}{(2\pi)^3 2E_3} (2\pi)^4 \delta^4(p_1 - p_2 - p_3) |\mathcal{M}(N \rightarrow l\phi)|^2 \\ &= \int \frac{d^3\mathbf{p}_1}{(2\pi)^3 2E_1} e^{-E_1/T} 2M \Gamma_{rs}(N \rightarrow l\phi) \quad \text{decay width in the rest frame of } N \end{aligned}$$

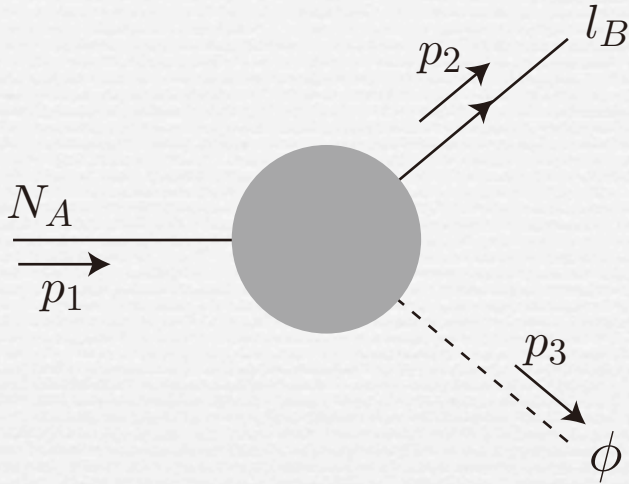
ここで p_1 積分は

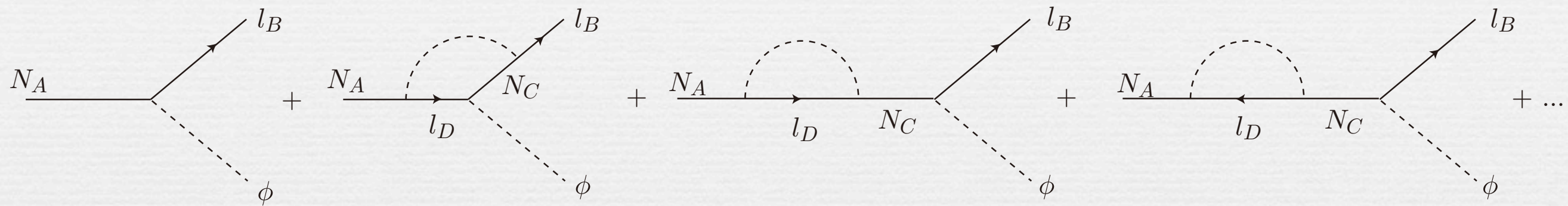
$$\int \frac{d^3\mathbf{p}_1}{(2\pi)^3} \frac{M}{E_1} e^{-\sqrt{p_1^2 + M^2}/T} = \frac{M}{2\pi^2} \int_0^\infty dp \frac{p^2}{\sqrt{p^2 + M^2}} e^{-\sqrt{p^2 + M^2}/T} = \frac{T^3}{2\pi^2} z^2 K_1(z)$$

CPT-inv.

$$\gamma^{\text{eq}}(N \rightarrow l\phi) = \gamma^{\text{eq}}(\bar{l}\bar{\phi} \rightarrow N) = \frac{T^3}{2\pi^2} z^2 K_1(z) \Gamma_{rs}(N \rightarrow l\phi)$$

$$\gamma^{\text{eq}}(N \rightarrow \bar{l}\bar{\phi}) = \gamma^{\text{eq}}(l\phi \rightarrow N) = \frac{T^3}{2\pi^2} z^2 K_1(z) \Gamma_{rs}(N \rightarrow \bar{l}\bar{\phi})$$

$$i\mathcal{M}(N_A \rightarrow l_B \phi) =$$




total decay width

tree-level contribution

$$\begin{aligned} & \sum_B [\Gamma(N_A \rightarrow l_B \phi) + \Gamma(N_A \rightarrow \bar{l}_B \bar{\phi})] \\ &= \frac{2}{2M_A} \int \frac{d^3 \mathbf{p}_2}{(2\pi)^3 2E_2} \frac{d^3 \mathbf{p}_3}{(2\pi)^3 2E_3} 2(hh^\dagger)_{ii} (p_1 \cdot p_2) (2\pi)^4 \delta^4(p_1 - p_2 - p_3) \\ &= \frac{1}{8\pi} (hh^\dagger)_{AA} M_A \end{aligned}$$

$$\sum_B [\Gamma(N_A \rightarrow l_B \phi) - \Gamma(N_A \rightarrow \bar{l}_B \bar{\phi})] = \frac{M_A}{(8\pi)^2} \sum_{B \neq A} \text{Im} \left[((hh^\dagger)_{BA})^2 \right] [f(\xi_B) + g(\xi_B)]$$

$$\xi_B \equiv \frac{M_B^2}{M_A^2} \quad f(\xi) = \sqrt{\xi} \left[1 - (1 + \xi) \log \frac{1 + \xi}{\xi} \right], \quad g(\xi) = \frac{\sqrt{\xi}}{1 - \xi}$$

$$\left\{ \begin{array}{l} \Gamma(N_A \rightarrow l\phi) = \frac{1 + \varepsilon_A}{2} \Gamma = \frac{(hh^\dagger)_{AA}}{16\pi} (1 + \varepsilon_A) M_A \\ \Gamma(N_A \rightarrow \bar{l}\bar{\phi}) = \frac{1 - \varepsilon_A}{2} \Gamma = \frac{(hh^\dagger)_{AA}}{16\pi} (1 - \varepsilon_A) M_A \end{array} \right.$$

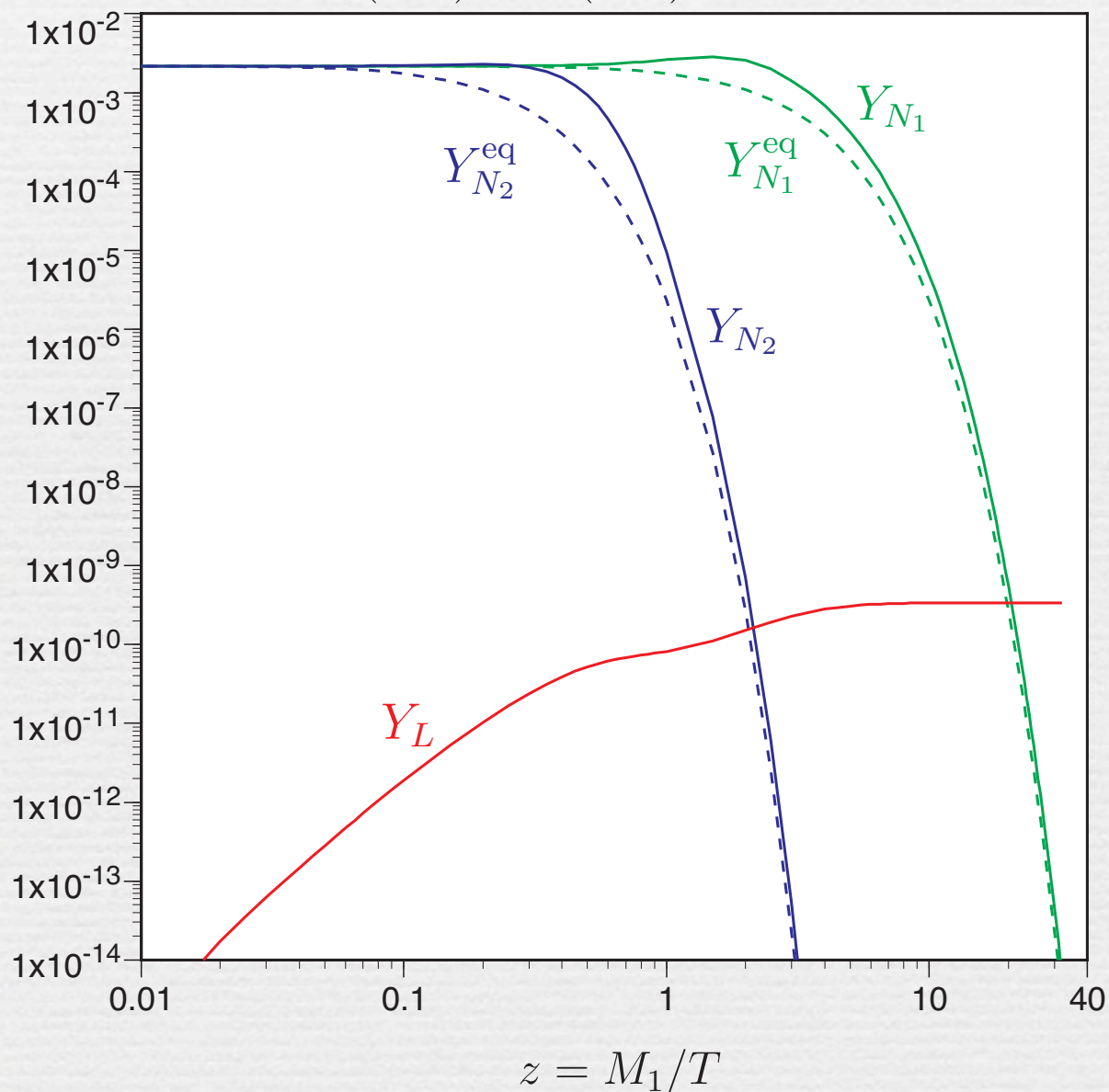
$$\varepsilon_A = \frac{1}{8\pi (hh^\dagger)_{AA}} \sum_{B \neq A} \text{Im} \left[((hh^\dagger)_{BA})^2 \right] [f(\xi_B) + g(\xi_B)]$$

数値解の例

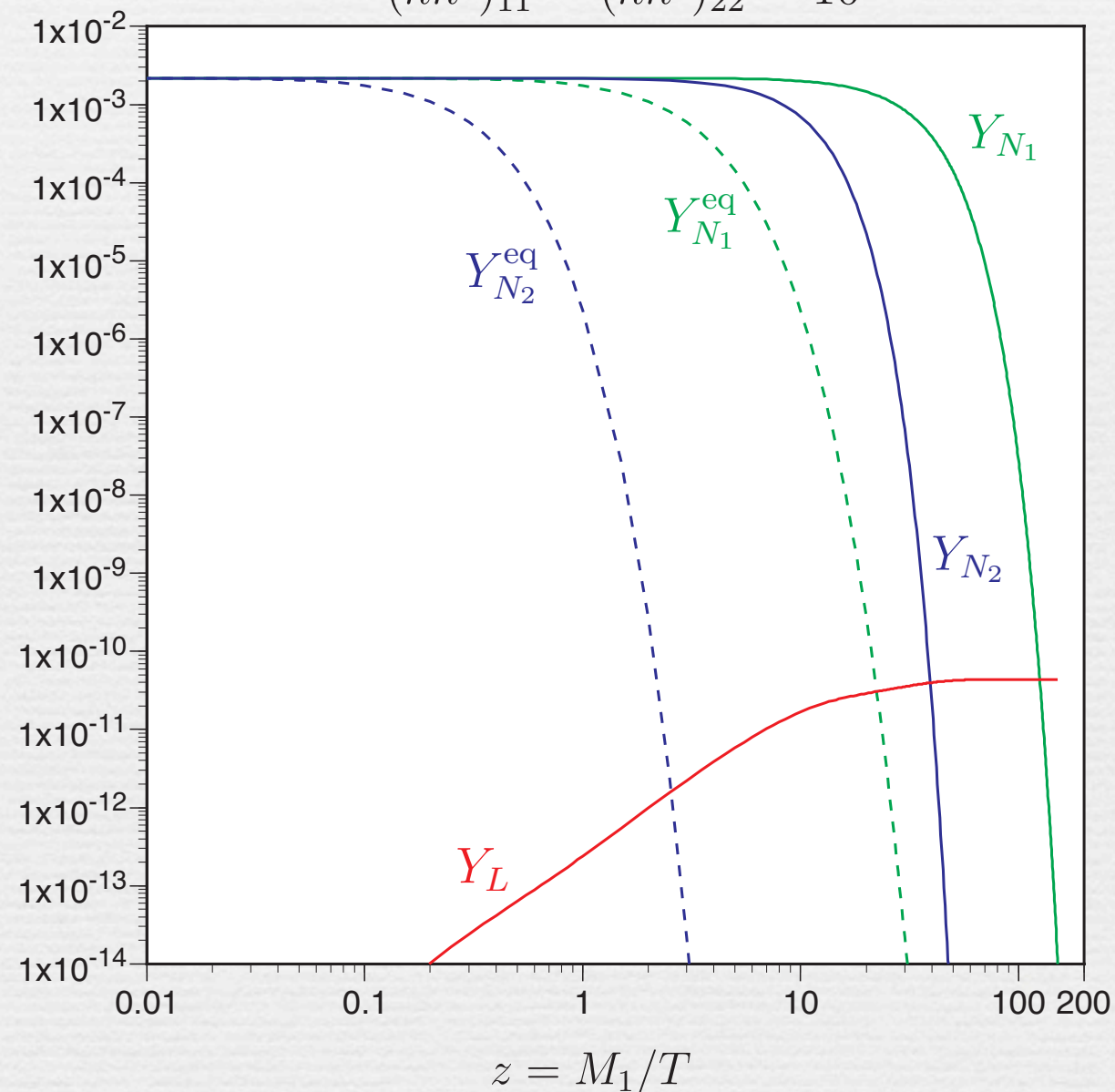
2-flavor toy model $M_1 = 10^{-6} m_{\text{Pl}}$, $M_2/M_1 = 10$, $\varepsilon_1 = \varepsilon_2 = 10^{-8}$

初期条件 $Y_N = Y_N^{\text{eq}}$, $Y_l = Y_{\bar{l}} = Y_l^{\text{eq}}$, $Y_\phi = Y_{\bar{\phi}} = Y_\phi^{\text{eq}}$ at $z = M_1/T = 0.01$

$$(hh^\dagger)_{11} = (hh^\dagger)_{22} = 10^{-3}$$



$$(hh^\dagger)_{11} = (hh^\dagger)_{22} = 10^{-6}$$



解の定性的な振舞

$T \simeq M_1$ では $Y_l = Y_l^{\text{eq}}, Y_\phi = Y_\phi^{\text{eq}}, \dots$

$M_1 \ll M_2$ の場合、生成されるLepton数は N_1 の崩壊で決まり

$$\frac{dY_{N_1}}{dz} = -(D + S) (Y_{N_1} - Y_{N_1}^{\text{eq}})$$

D : decay

S : scattering

$$\frac{dY_{B-L}}{dz} = -\varepsilon_1 D (Y_{N_1} - Y_{N_1}^{\text{eq}}) - W Y_{B-L}$$

W : wash-out

解析的な近似解

Buchmüller, Di Bari and Plümacher, Ann. Phys. 315

decay parameter

$$K \equiv \frac{\Gamma_D}{H(z=1)}$$

$K \gg 1$ strong washout regime

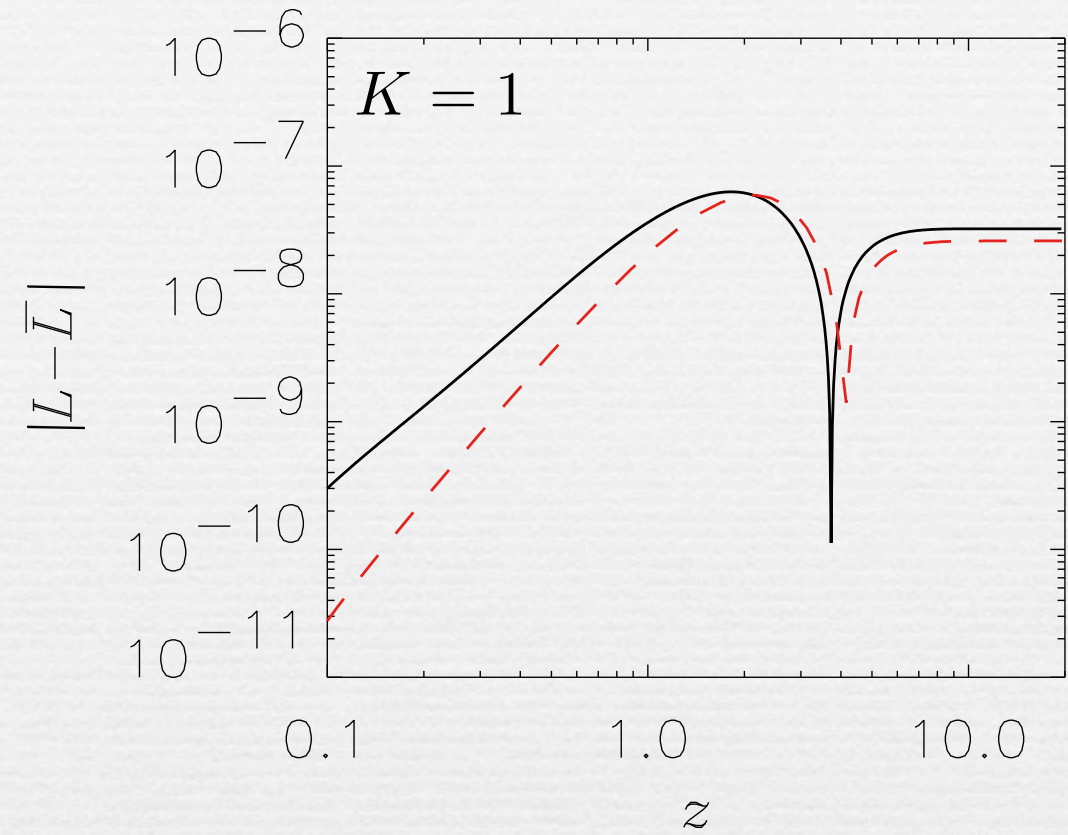
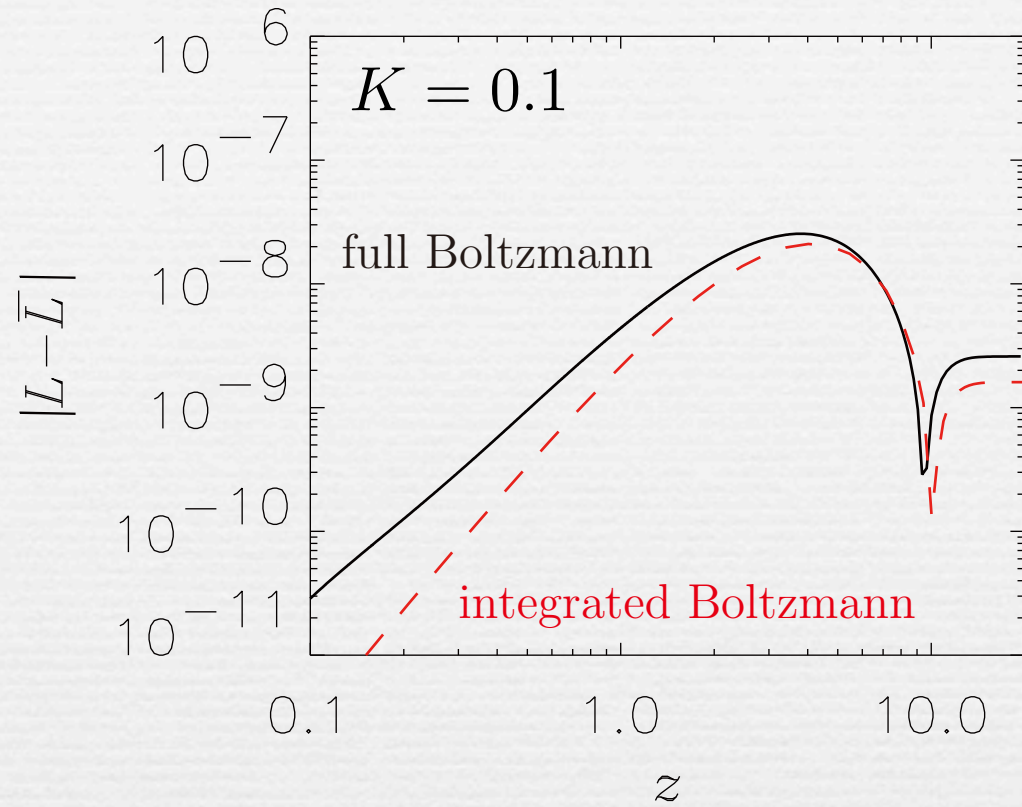
Y は Y^{eq} に近い発展をして、最終的な $B - L$ は W が効かなくなった時期に決まる。

$K < 1$ weak washout regime

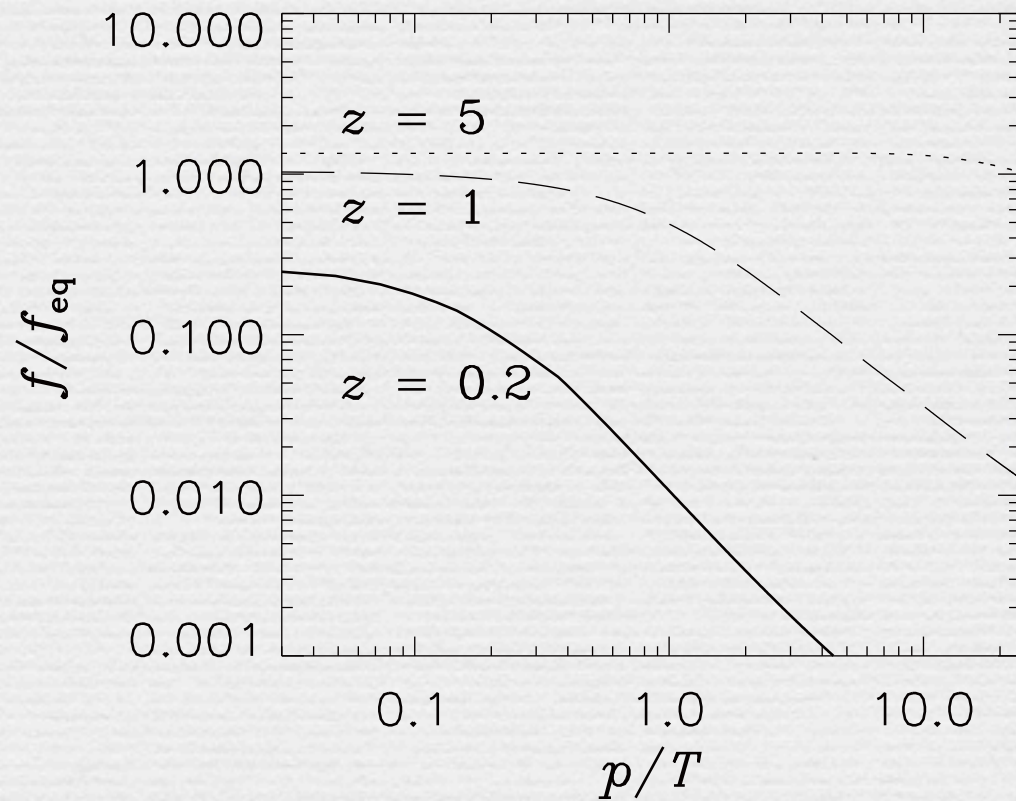
Y は Y^{eq} から遅れて変化し、最終的な $B - L$ は初期条件などの詳細に依存する。

full Boltzmann equation

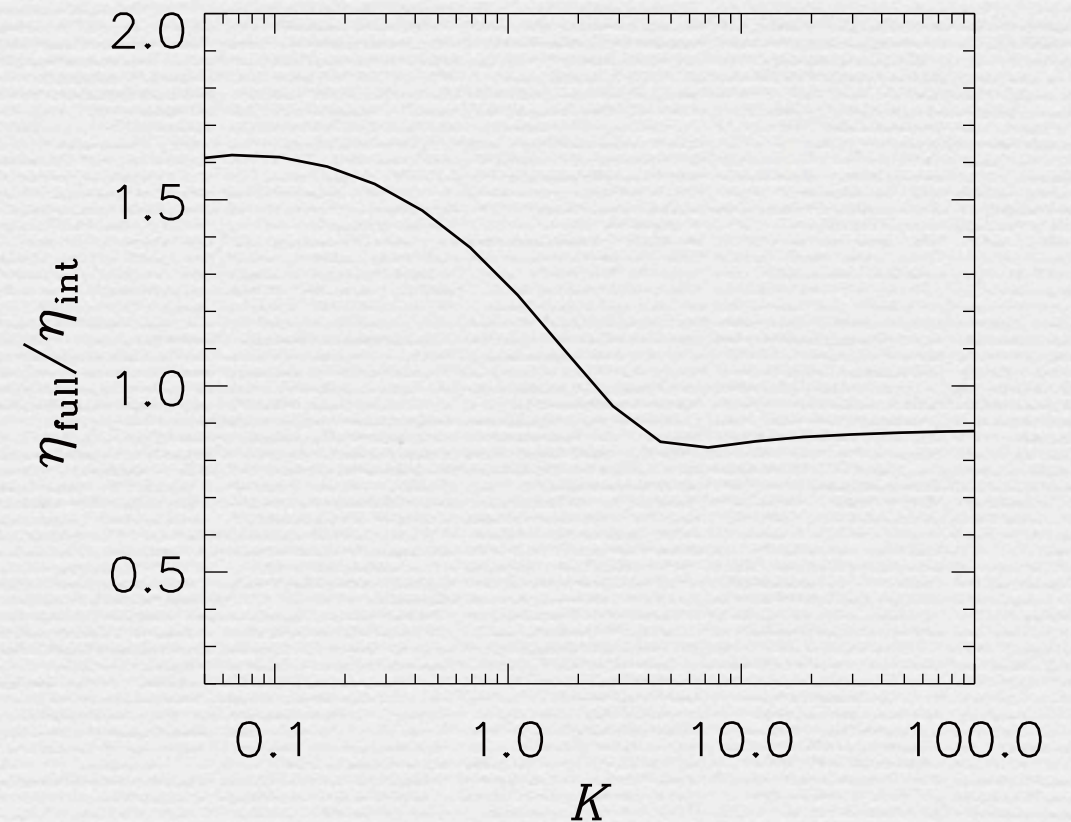
Basbøll and Hannestad, JCAP 0701 ('07) [hep-ph/0609025]



N_R 分布関数の違い ($K = 1$)



最終的な L -abundance



スファレロン過程とレプトン数非保存過程

両方の過程が化学平衡 $\longrightarrow B = L = 0$

$\Delta L \neq 0$ 相互作用への制限

Zee model

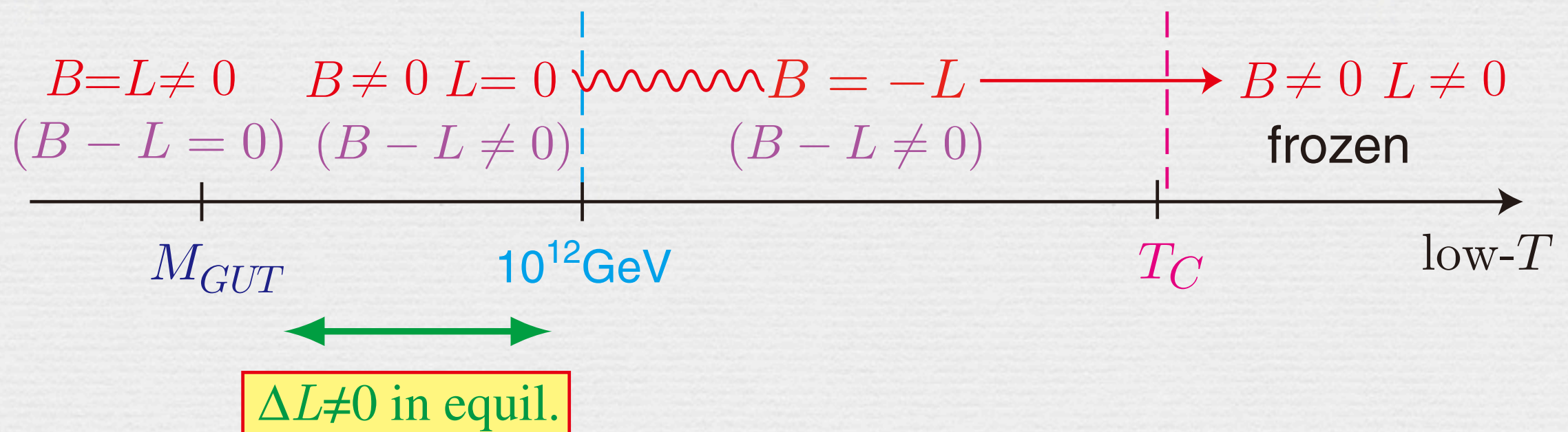
Hasegawa, Lim, Ogure, Phys. Rev. D68 ('03)

Seesaw model

Hasegawa, Phys. Rev. D69 ('04)

$(B - L)$ を保存するGUTsと組み合わせると $B \neq 0$ を残す

Fukugita and Yanagida, Phys. Rev. Lett. 89 ('02)

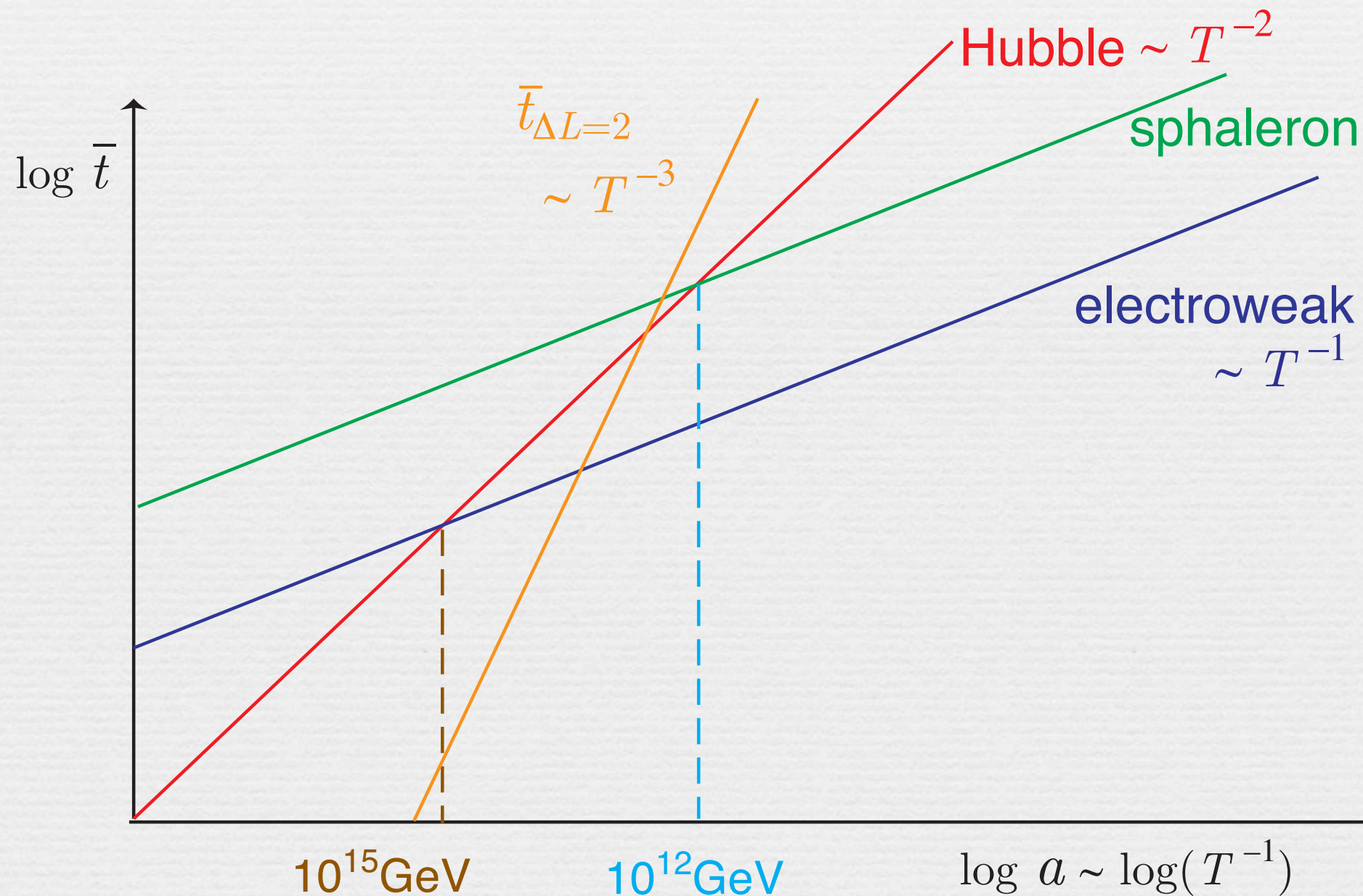


このシナリオが成功するには、

$T = 10^{12} \text{ GeV}$ に冷える前に $\Delta L \neq 0$ 過程が脱結合しなければならない。

$$\mathcal{L}_{\text{eff}} = \frac{g_i^2}{m_{N_i}} l_i \phi l_i \phi \implies \Gamma_{\Delta L=2} \simeq \frac{0.12 g_i^4 T^3}{4\pi m_{N_i}^2} < H(T) \quad \text{at } T < 10^{12} \text{ GeV} \text{ を要請}$$

→ m_{N_i} の下限 $\overset{\text{seesaw}}{\longleftrightarrow} m_{\nu_i} < 0.8 \text{ eV}$



low-energy observableとの関係

ニュートリノ振動 $\Delta m_{ij}^2, U_{MNS}$

質量固有状態: 真空 vs $T=M$

$$\mathcal{L}_Y = y_{AB} \epsilon^{ab} l_{aAL} e_{BR}^c \tilde{\Phi}_b - h_{AB} \epsilon^{ab} l_{aAL} N_{BR}^c \Phi_b - \frac{1}{2} M_{AB} N_{AR}^c N_{BR}^c + \text{h.c.}$$

2-spinor notation

Lorentz群 [$SL(2; C) \rightarrow 2$ つの $SU(2)$] の既約表現 (s_L, s_R)

$$\psi_\alpha \in \left(\frac{1}{2}, 0\right) \quad \chi^{\dot{\alpha}} \in \left(0, \frac{1}{2}\right) \quad (\psi_\alpha)^* = \bar{\psi}_{\dot{\alpha}} : \text{共役} \quad \text{添字の上下は } \epsilon^{\alpha\beta}$$

$$\psi^\alpha \phi_\alpha, \bar{\psi}_{\dot{\alpha}} \bar{\phi}^{\dot{\alpha}} : \text{Lorentz scalar } (0, 0) \quad \psi \sigma^\mu \bar{\chi}, \bar{\chi} \bar{\sigma}^\mu \psi : \text{vector } \left(\frac{1}{2}, \frac{1}{2}\right)$$

Dirac $\psi = \begin{bmatrix} \phi_\alpha \\ \bar{\chi}^{\dot{\alpha}} \end{bmatrix}, \quad \bar{\psi} = [\chi^\alpha \bar{\phi}_{\dot{\alpha}}] \quad \bar{\psi}\psi = \phi\chi + \bar{\chi}\bar{\phi} = \phi\chi + \text{h.c.}$

ϕ と χ のチャージは逆

Majorana $\psi = \begin{bmatrix} \phi_\alpha \\ \bar{\phi}^{\dot{\alpha}} \end{bmatrix}, \quad \bar{\psi} = [\phi^\alpha \bar{\phi}_{\dot{\alpha}}] \quad \bar{\psi}\psi = \phi\phi + \bar{\phi}\bar{\phi} = \phi\phi + \text{h.c.}$

ϕ のチャージは0

$$\begin{aligned}\mathcal{L}_Y &\stackrel{\text{SSB}}{\sim} -e_L^T m_e e_R^c - \nu_L^T m_\nu N_R^c - \frac{1}{2} N_R^{cT} M N_R^c + \text{h.c.} \\ &= -e_L^T m_e e_R^c - \frac{1}{2} \begin{pmatrix} \nu_L^T & N_R^{cT} \end{pmatrix} \begin{pmatrix} 0 & m_\nu \\ m_\nu^T & M \end{pmatrix} \begin{pmatrix} \nu_L \\ N_R^c \end{pmatrix} + \text{h.c.}\end{aligned}$$

(1) m_e と m_ν をbi-unitary変換で対角化

$$U_L^{(e)} m_e U_R^{(e)} = \text{diag}(m_e, m_\mu, m_\tau), \quad S_L m_\nu S_R = \Lambda_D = \text{diagonal}$$

$$\text{場の変換: } e_R^c = U_R^{(e)} e_{iR}^{\prime c}, \quad e_L = U_L^{(e)T} e_{iL}', \quad N_R^c = S_R N_R^{\prime c}, \quad \nu_L = S_L^T \nu_L'$$

mass term:

$$\mathcal{L}_m = -m_{ei} e_{iL}' e_{iR}^{\prime c} - \frac{1}{2} \begin{pmatrix} \nu_L'^T & N_R^{\prime cT} \end{pmatrix} \begin{pmatrix} 0 & \Lambda_D \\ \Lambda_D & \tilde{M} \end{pmatrix} \begin{pmatrix} \nu_L' \\ N_R^{\prime c} \end{pmatrix} + \text{h.c.}$$

$$\tilde{M} = S_R^T M S_R$$

(2) ν mass matrixをブロック対角化

$$V = \begin{pmatrix} 1 & \Lambda_D \tilde{M}^{-1} \\ -\tilde{M}^{-1} \Lambda_D & 1 \end{pmatrix} \text{ は近似的にユニタリ } V^\dagger V = 1 + O(\Lambda_D^2 \tilde{M}^{-2})$$

$$\longrightarrow V^T \begin{pmatrix} 0 & \Lambda_D \\ \Lambda_D & \tilde{M} \end{pmatrix} V \simeq \begin{pmatrix} -\Lambda_D \tilde{M}^{-1} \Lambda_D & 0 \\ 0 & \tilde{M} \end{pmatrix} \quad \text{'seesaw'}$$

(3) ブロック対角部分を対角化 $-T_L^T (\Lambda_D \tilde{M}^{-1} \Lambda_D) T_L = \Lambda_l, \quad T_R^T \tilde{M} T_R = \Lambda_h$

$$\mathcal{L}_{\nu-m} = -\frac{1}{2} (\nu_L'^T \ N_R'^c T) V^* \begin{pmatrix} T_L^* & 0 \\ 0 & T_R^* \end{pmatrix} \begin{pmatrix} \Lambda_l & 0 \\ 0 & \Lambda_h \end{pmatrix} \begin{pmatrix} T_L^\dagger & 0 \\ 0 & T_R^\dagger \end{pmatrix} V^\dagger \begin{pmatrix} \nu_L' \\ N_R'^c \end{pmatrix} + \text{h.c.}$$

$$= \frac{1}{2} \eta_l^T \Lambda_l \eta_l + \frac{1}{2} \eta_h^T \Lambda_h \eta_h + \text{h.c.} \quad \longleftarrow \text{Majorana mass}$$

$$\text{質量固有状態} \begin{cases} \eta_l = T_L^\dagger \left[\nu_L' - \Lambda_D (\tilde{M}^{-1})^\dagger N_R'^c \right] & \text{light (主成分は } \nu_L') \\ \eta_h = T_R^\dagger \left[N_R'^c + (\tilde{M}^{-1})^\dagger \Lambda_D \nu_L' \right] & \text{heavy (主成分は } N_R'^c) \end{cases}$$

charged current interaction

$$\begin{aligned}\mathcal{L}_{CC} &\sim \frac{g_2}{2\sqrt{2}} [\bar{e}_L \bar{\sigma}^\mu \nu_L + \nu_L \sigma^\mu \bar{e}_L] W_\mu^- + \text{h.c.} \\ &\simeq \frac{g_2}{2\sqrt{2}} \left[\bar{e}'_L \bar{\sigma}^\mu (U_L^{(e)*} S_L^T T_L) \eta_l + \eta_{lL} \sigma^\mu (T_L^T S_L U_L^{(e)\dagger}) \bar{e}'_L \right] W_\mu^- + \text{h.c.}\end{aligned}$$

$$(U_{MNS})_{fi} = \left(U_L^{(e)*} S_L^T T_L \right)_{fi} \quad f = \text{lepton flavor}, i = \text{mass eigenstate}$$

練習問題

- (1) U_{MNS} にCP対称性を破る複素位相は幾つ含まれるか？
- (2) その位相のうちどれがニュートリノ振動実験に影響するか？

Leptogenesisに関係する位相とは「直接には」関係無い。

模型（質量行列）に何らかの制限

Electroweak Baryogenesis

標準理論やその拡張に基づく 検証可能 制限がきつい

(1) バリオン数保存の破れ スファレロン過程
但し、生成直後に凍結すべし

(2) CP対称性の破れ KM位相では不十分 (後述)
標準理論の拡張 SUSY-SM, extra Higgs, ...

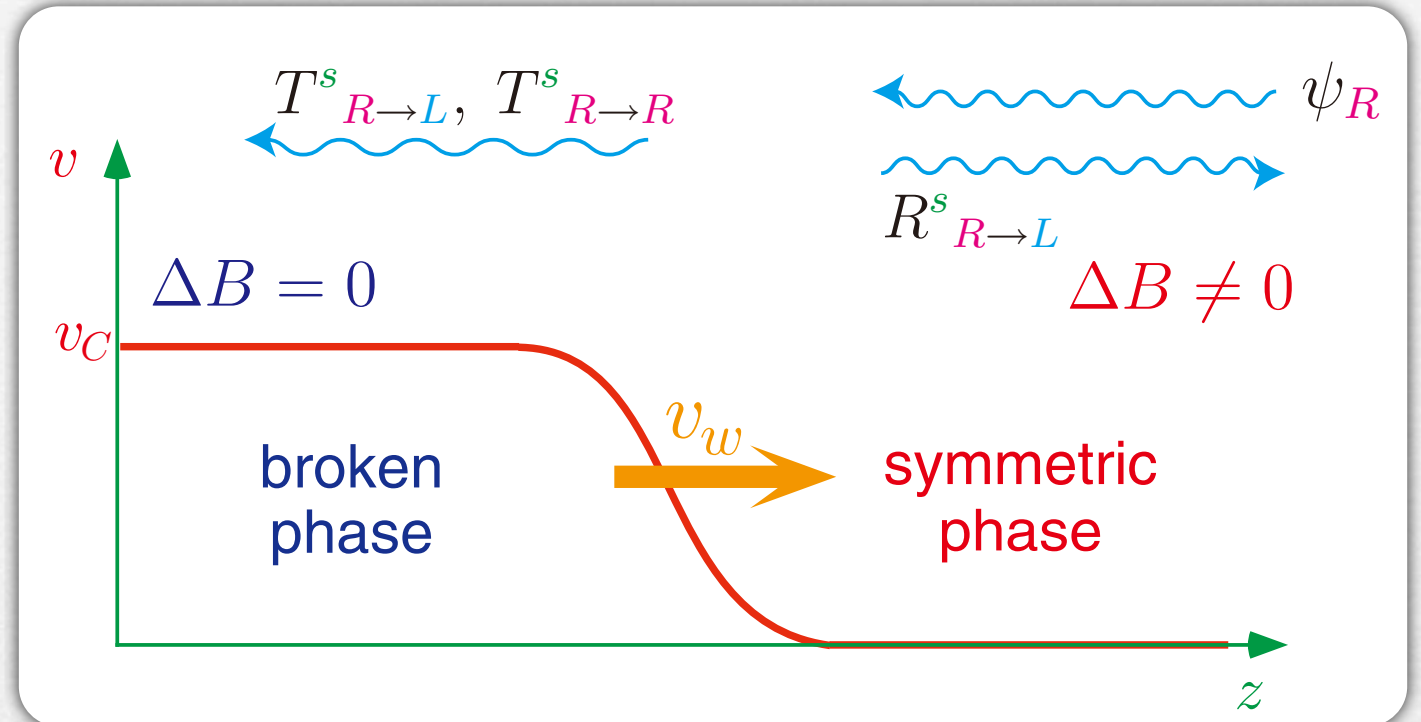
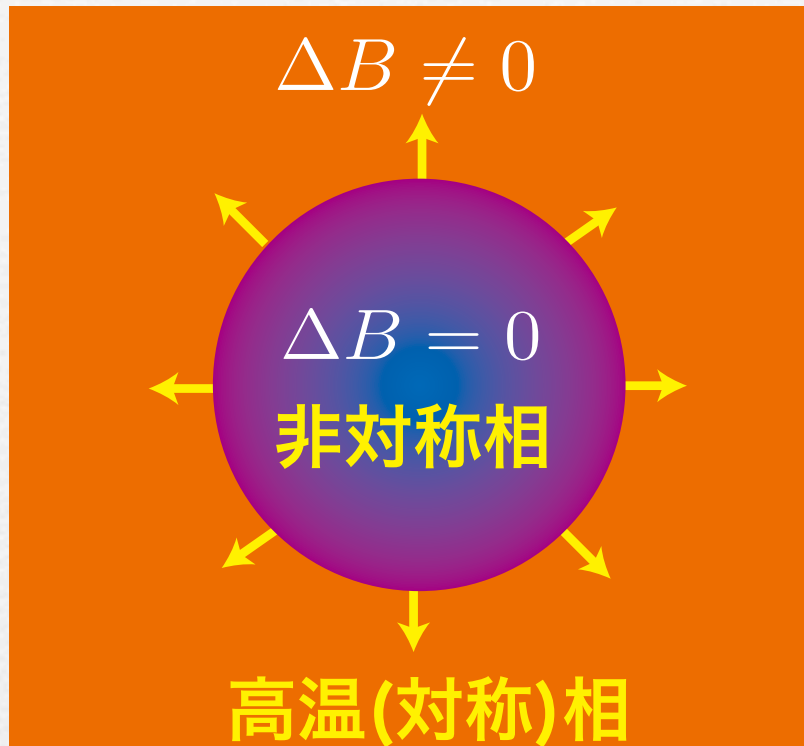
(3) 非平衡状態 $T=100\text{GeV}$ では、宇宙膨張は無視できる

$$\bar{t}_{EW} = 10\text{GeV}^{-1} < \bar{t}_{\text{sph}}^{(\text{sym})} = 10^3\text{GeV}^{-1} \ll H(T)^{-1} = 10^{14}\text{GeV}^{-1}$$

電弱相転移が、相境界の形成・成長を伴う一次転移

標準理論の拡張が必要 (後述)

電弱バリオン数生成の概要



プラズマの粒子と **bubble wall** とのCPを破る相互作用

q, l

Higgs profile

B-conserving

カイラル・フェルミオンの反射率の差 + bubble wallの運動

カイラル・チャージが**対称相**に注入 $(Q_L - Q_R)(R^s_{R \rightarrow L} - R^s_{L \rightarrow R})$

対称相で保存される量子数 Q_Y, I_3

対称相でのスファレロン過程にバイアス $\mu_B \neq 0$

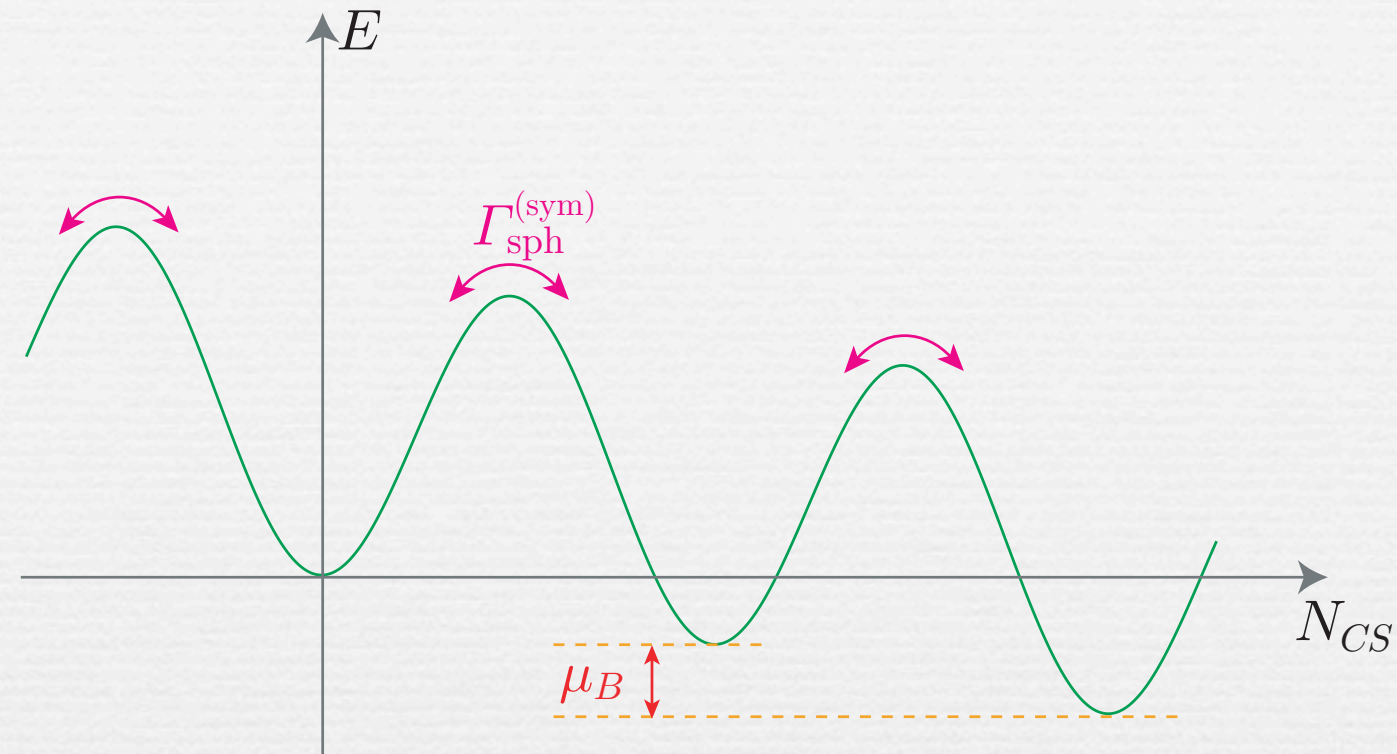


バリオン数生成

$$\dot{n}_B = -\frac{\mu_B}{T} \Gamma_{\text{sph}}^{(\text{sym})}(T)$$



相転移後、**非対称相で凍結**



$$\frac{v(T_C)}{T_C} > 1$$

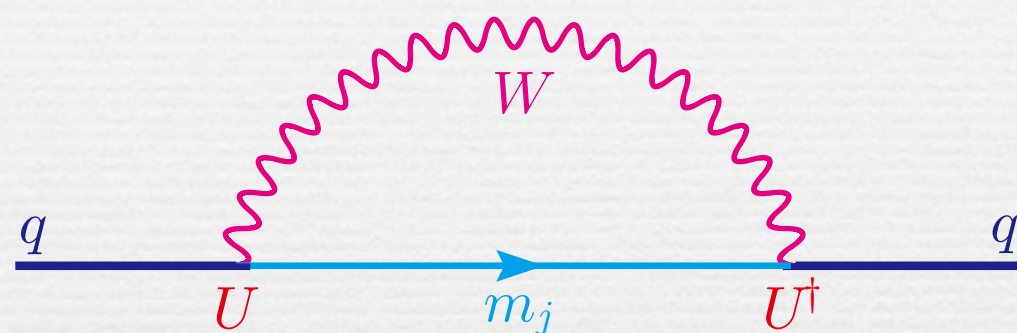
詳しくは、KF, Prog.Theor.Phys. 96 ('96) を参照

その他のreview: Rubakov and Shaposhnikov, Phys. Usp. 39 ('96) 461
Riotto and Trodden, Ann. Rev. Nucl. Part. Sci. 49 ('99) 35
Bernreuther, Lect. Notes Phys. 591 ('02) 237

標準理論だけでバリオン数生成は可能か？

★ $m_h > 114\text{GeV}$ → 相境界はクロスオーバー ~~非平衡~~

★ CP対称性の破れはKM位相だけ



$$m_i \neq m_j$$

→ dispersionに $O(\alpha_W)$ のCPV

Farrar and Shaposhnikov, Phys. Rev. D50 ('94)

weakの1-loopで小さいが、さらに、

QCD correction, wallとの多重散乱による decoherence

Gavela, et al., Nucl. Phys. B430 ('94)

Huet and Sather, Phys. Rev. D51 ('95)

$$\rightarrow \left| \frac{n_B}{s} \right| < 10^{-26}$$

1st order EWPT と CP violationのため拡張が必要

電弱相転移

$$T \simeq 100\text{GeV} \text{では, } \bar{t}_{EW} \simeq 10\text{GeV}^{-1} \ll H(T)^{-1} \simeq 10^{14}\text{GeV}^{-1}$$

→ 平衡系の統計力学が使える

相転移の静的性質

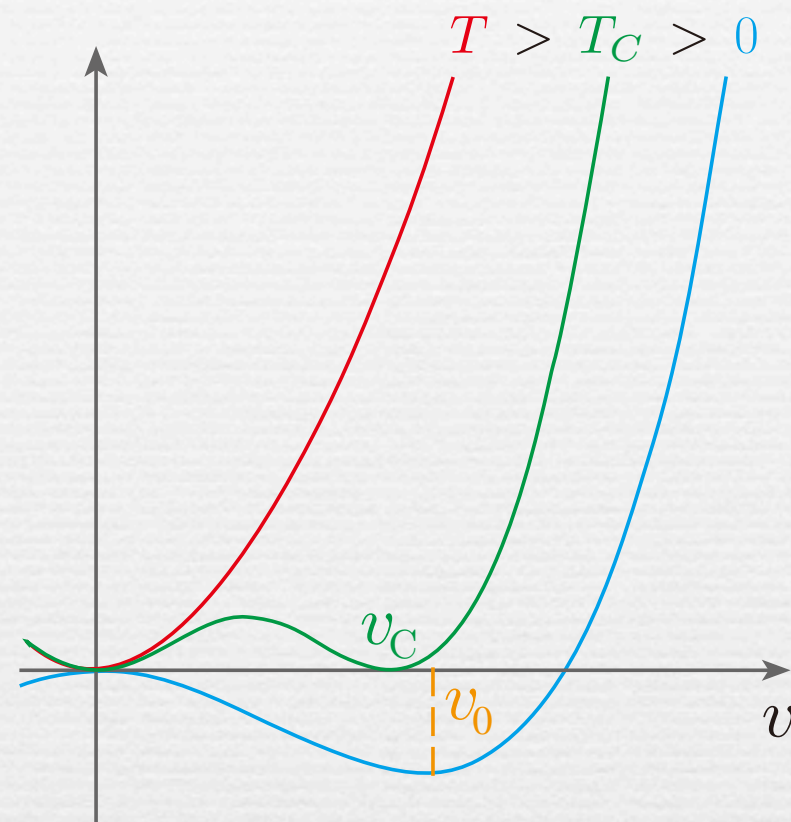
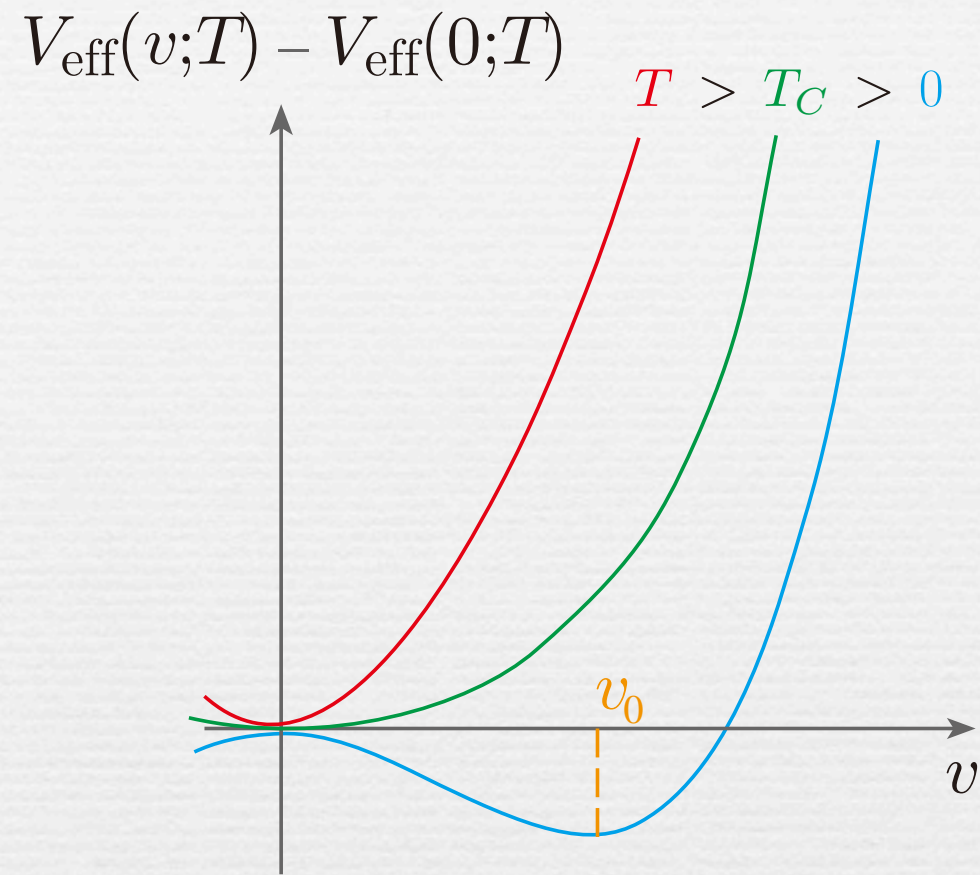
	磁性体(Landau現象論)	電弱理論
秩序変数	自発磁化 (M)	$\langle \Phi(x) \rangle = v$
自由エネルギー	$F(M; T) = a(T)M^2 + b(T)M^4$	Effective potential $V_{\text{eff}}(v; T)$
計算法	例. スピン模型の平均場近似	有限温度の場の理論

$$V_{\text{eff}}(v; T) = -\Gamma[\varphi(x) = v] / \int d^4x \quad \Gamma[\varphi] = \text{effective action}$$

$$\text{Tr}(e^{-H/T}) = N(T) \int_{\text{pbc}} [d\phi] \exp\left(-\int_0^{1/T} d^4x_E \mathcal{L}_E(\phi)\right) \quad \text{euclidean path integral}$$

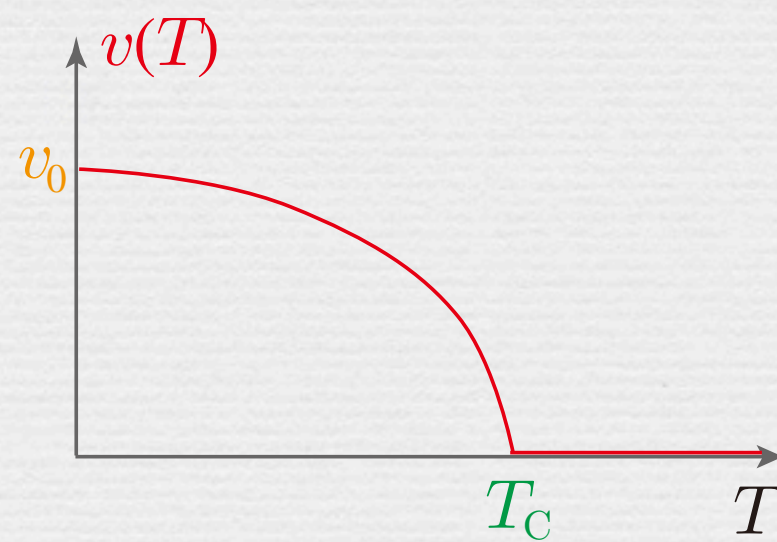
$$\begin{cases} \phi(0, \mathbf{x}) = \phi(1/T, \mathbf{x}) & \text{boson} & k^0 = i\omega_n = i\pi 2nT \\ \psi(0, \mathbf{x}) = -\psi(1/T, \mathbf{x}) & \text{fermion} & k^0 = i\tilde{\omega}_n = i\pi(2n+1)T \end{cases}$$

自発的に破れているSU(2)xU(1)ゲージ対称性が高温で回復

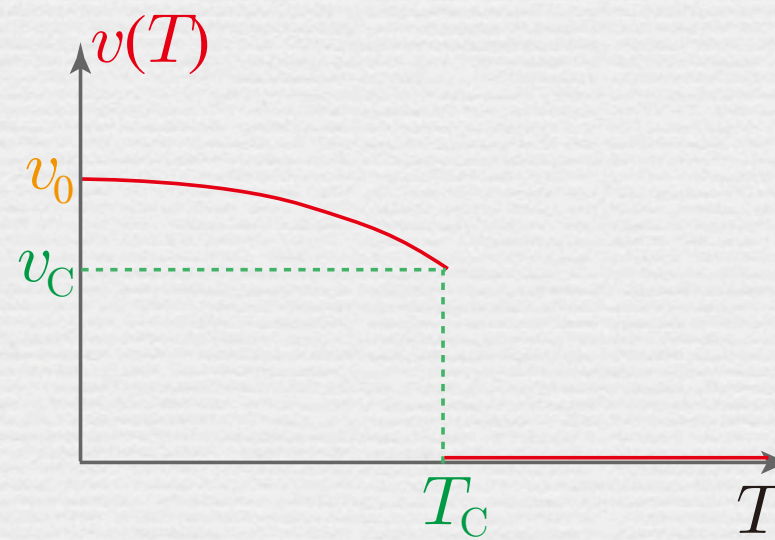


order parameter

$$\langle \Phi \rangle = \frac{1}{\sqrt{2}} \begin{pmatrix} 0 \\ v(T) \end{pmatrix}$$



2nd order PT



1st order PT

$$v_C \equiv \lim_{T \uparrow T_C} v(T) \neq 0$$



一次相転移

標準理論

$$V_{\text{eff}}(\boldsymbol{v}; T) = -\frac{1}{2}\mu^2 \boldsymbol{v}^2 + \frac{\lambda}{4}\boldsymbol{v}^4 + 2B\boldsymbol{v}^4 \left[\log \left(\frac{\boldsymbol{v}^2}{v_0^2} \right) - \frac{3}{2} \right] + \bar{V}(\boldsymbol{v}; T)$$

$$B = \frac{3}{64\pi^2 v_0^4} (2m_W^4 + m_Z^4 - 4m_t^4)$$

$$\bar{V}(\boldsymbol{v}; T) = \frac{T^4}{2\pi^2} (6I_B(a_W) + 3I_B(a_Z) - 6I_F(a_W))$$

$$a_A = \frac{m_A(\boldsymbol{v})}{T}$$

$$I_{B,F}(a) \equiv \int_0^\infty dx x^2 \log \left(1 \mp e^{-\sqrt{x^2+a^2}} \right)$$

高温展開 [$a = m/T \ll 1$]

IR nonanalyticity

$$I_B(a) = -\frac{\pi^4}{45} \left[+\frac{\pi^2}{12} a^2 - \frac{\pi}{6} (a^2)^{3/2} \right] - \frac{a^4}{16} \log \frac{\sqrt{a^2}}{4\pi} - \frac{a^4}{16} \left(\gamma_E - \frac{3}{4} \right) + O(a^6)$$

$$I_F(a) = \frac{7\pi^4}{360} \left[-\frac{\pi^2}{24} a^2 \right] - \frac{a^4}{16} \log \frac{\sqrt{a^2}}{\pi} - \frac{a^4}{16} \left(\gamma_E - \frac{3}{4} \right) + O(a^6)$$

$+T^4 a^2 \sim +T^2 \boldsymbol{v}^2 \longrightarrow$ symmetry restoration at high-T

$T > m_W, m_Z, m_t$ として展開すると、

$$V_{\text{eff}}(v; T) \simeq D (T^2 - T_0^2) v^2 - ET v^3 + \frac{\lambda_T}{4} v^4$$

$$D = \frac{1}{8v_0^2} (2m_W^2 + m_Z^2 + 2m_t^2) \quad E = \frac{1}{4\pi v_0^3} (2m_W^3 + m_Z^3) \sim 10^{-2}$$

$$\lambda_T = \lambda - \frac{3}{16\pi^2 v + 0^4} \left[2m_W^4 \log \frac{m_W^2}{\alpha_B T^2} + m_Z^4 \log \frac{m_Z^2}{\alpha_B T^2} - 4m_t^4 \log \frac{m_t^2}{\alpha_F T^2} \right]$$

$$T_0^2 = \frac{\mu^2 - 4Bv_0^2}{2D}$$

$$\log \alpha_{F(B)} = 2 \log(4)\pi - 2\gamma_E$$

T_C で $v = 0$ と縮退した極小が v_C に存在

$$v_C = \frac{2ET_C}{\lambda_T}$$

$$\Gamma_{\text{sph}}^{(\text{br})} < H(T_C) \iff \frac{v_C}{T} > 1$$

sphaleron decoupling condition

$$\longrightarrow \lambda \text{ に上限} \xrightarrow{m_h = \sqrt{2} \lambda v_0} m_h < 46 \text{ GeV}$$

格子理論によるMC計算

スカラー場 $\Phi(x)$ \longrightarrow 格子点 (サイト)

ゲージ場 $U_\mu(x) = e^{igA_\mu(x)}$ \longrightarrow リンク

$$Z(T) = \text{Tr} \left(e^{-H/T} \right) = \int_{\phi(1/T)=\phi(0)} [d\Phi dU_\mu] \exp(-S_E[\Phi, U])$$

標準理論

3次元系 高温極限 [Laine & Rummukainen, hep-lat/9809045]

4次元系 $m_h < 66.5 \pm 1.4\text{GeV}$ で一次転移 [Csikor, hep-lat/9910354]

それぞれ $m_h = 72.3 \pm 0.7\text{GeV}$
 $m_h = 72.1 \pm 1.4\text{GeV}$ に相転移のend point

電弱相転移が一次転移となるには

● **boson loop**からの寄与 $V_{\text{eff}}(v; T) \sim -T (m(v)^2)^{3/2}$

Higgsと相互作用するbosonで、 $m(v)^2 \sim g^2 v^2$ (for $v \sim 0$)

2HDMのextra Higgs, SUSY-SMのsfermion

$$m(v)^2 = m_0^2 + g^2 v^2 \quad (m_0^2 \ll g^2 v_0^2)$$

例. **MSSM** $m_{H^\pm} > 200\text{GeV} \longrightarrow$ 相転移はSM-like

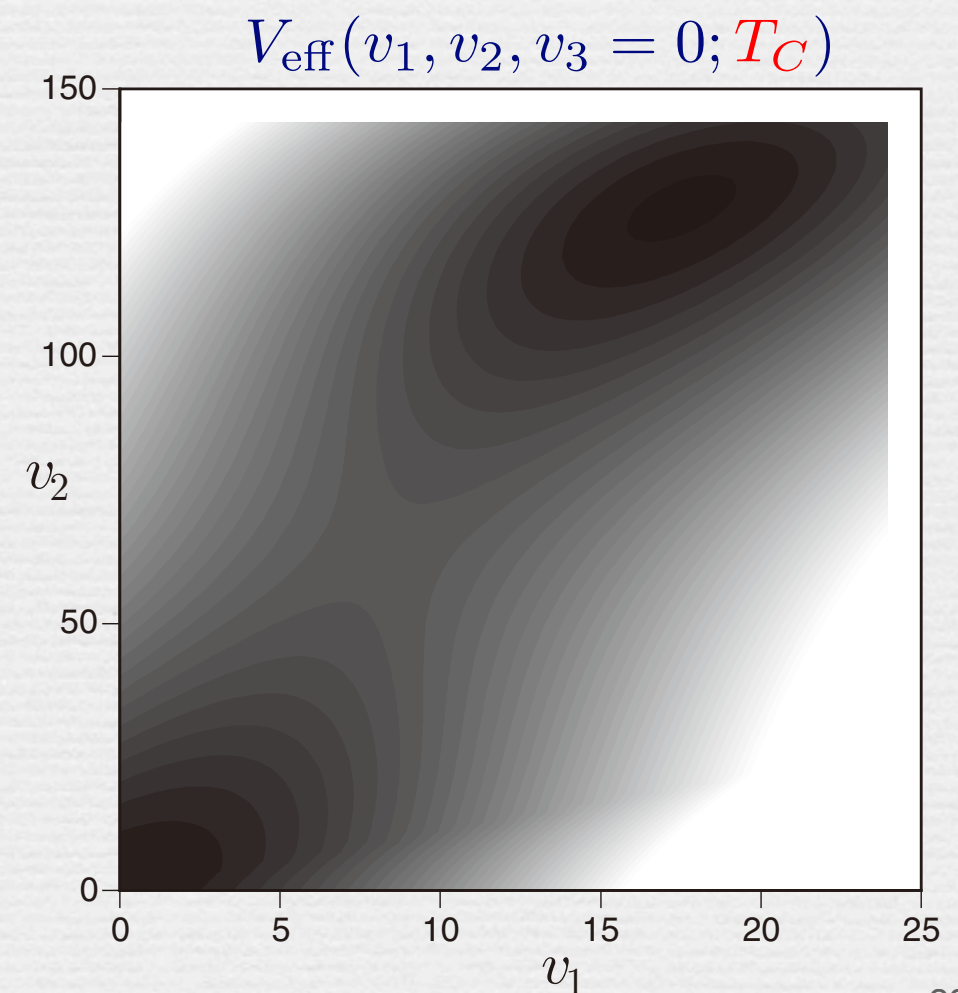
light Higgs, light stop

$$m_h < 105\text{GeV}, m_{\tilde{t}_1} < m_t$$

$$\longrightarrow v_C/T_C > 1$$

● **singlet scalar**を含む理論の新しい型の相転移

NMSSM KF, Tao and Toyoda, PTP 114 ('05)



CP対称性の破れ

★ scalar self-interactionの複素パラメータ
 $\lambda_{6,7}$ in 2HDM; $\mu B, A$ in the MSSM

★ complex Majorana mass
gaugino mass, μ in the MSSM

★ スカラー場の期待値が複素数

複数のスカラー場の期待値の相対位相

バリオン数生成に効くのはbubble wall近傍

これらの位相のある組合わせがCP対称性を破る

$\text{Im}(\mu M_2), \text{Im}(\mu A_t), \dots$

EDM, decay asym.等から制限

生成されるバリオン数の評価

2-Higgs doublet model

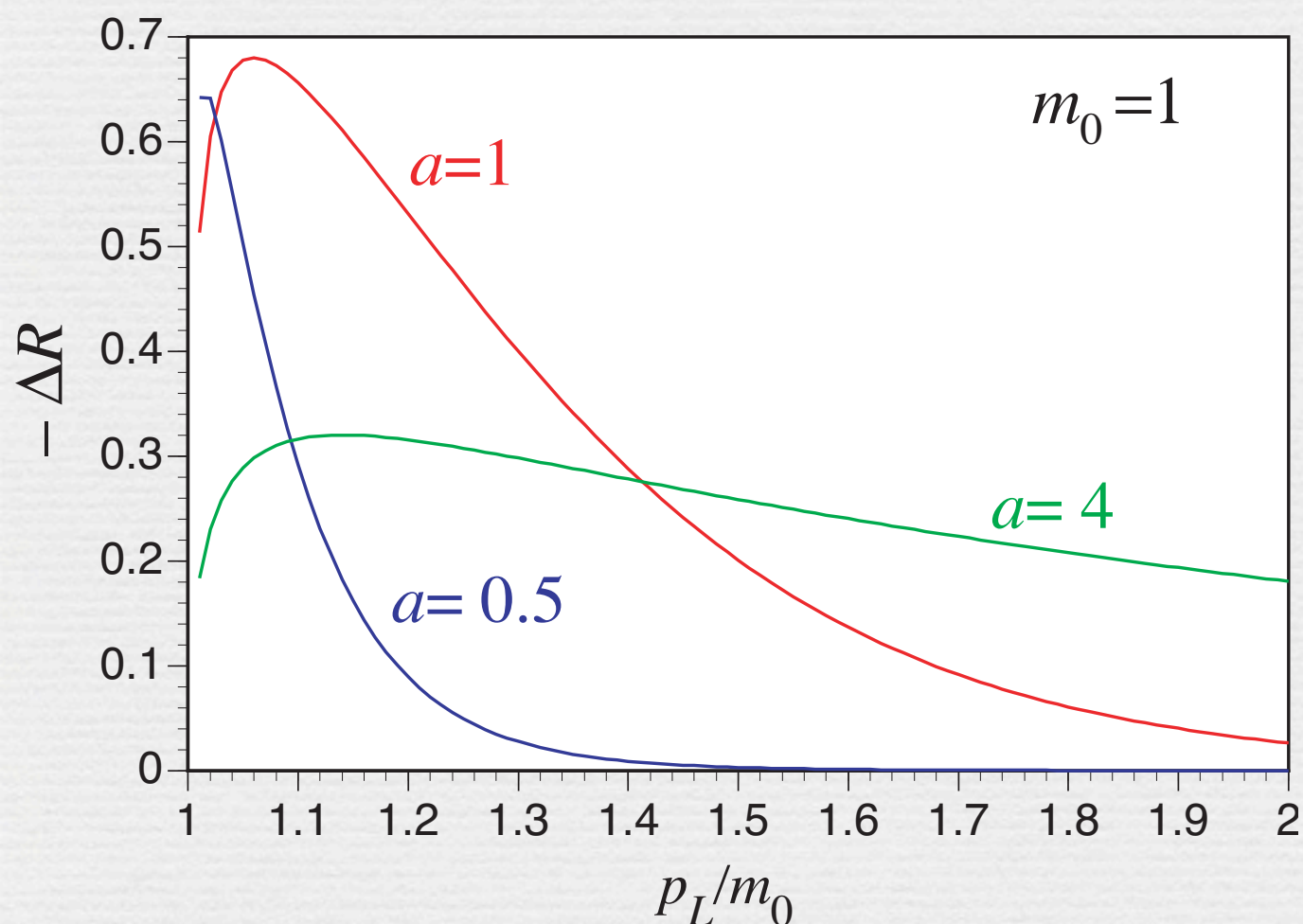
空間に依存するCP位相を持つbubble wall profileを仮定

$$(i\gamma \cdot \partial - m(z)) \psi(x) = 0$$

$$m(z) = m_0 \frac{1 - \tanh(az)}{2} e^{-i\frac{\pi}{2}[1 + \tanh(az)]}$$

非対称相($z = -\infty$)ではCP保存

$$\Delta R \equiv R^s_{R \rightarrow L} - R^s_{L \rightarrow R}$$



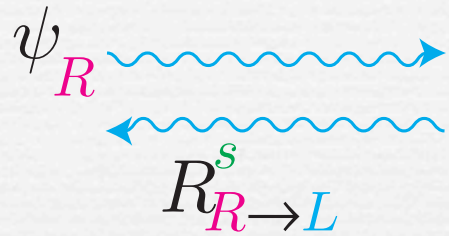
$$\text{wall width} = \frac{1}{a}$$

\simeq wave length of the carrier

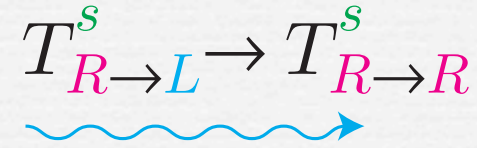
↓

$$\Delta R = O(1)$$

symmetric phase



broken phase



chiral fermionの反射・透過



対称相に流れ込むflux

bubble wallの静止系で

$$F_Q^i = \frac{Q_L^i - Q_R^i}{4\pi^2 \gamma} \int_{m_0}^{\infty} dp_L \int_0^{\infty} dp_T p_T [f_i^s(p_L, p_T) - f_i^b(-p_L, p_T)] \Delta R\left(\frac{m_0}{a}, \frac{p_L}{a}\right)$$

$$f_i^s(p_L, p_T) = \frac{p_L}{E} \frac{1}{\exp[\gamma(E - v_w p_L)/T] + 1}$$

$$f_i^b(-p_L, p_T) = \frac{p_L}{E} \frac{1}{\exp[\gamma(E + v_w \sqrt{p_L^2 - m_0^2})/T] + 1}$$

$$E = \sqrt{p_L^2 + p_T^2}, \quad \gamma = \frac{1}{\sqrt{1 - v_w^2}}$$

$$Q_L = Q_R \implies F_Q = 0$$

symmetric phaseに貯まるchargeの評価

diffusion eq. $\dot{Q}_i(t, \mathbf{x}) = D_{Q_i} \nabla^2 Q_i - \sum_j \Gamma_{ij} c_j Q_i + [\text{source term}]$

\uparrow
 F_{Q_i}

D_Q : Q のdiffusion const. \sim (mean-free pathの数倍) $^{-1}$

Γ_{ij} : 反応過程による Q_i の転換率 c_j : 統計因子

Cohen, Kaplan, Nelson, Phys. Lett. B336 ('94); Joyce, Prokopec, Turok, Phys. Rev. D53 ('96)

非平衡定常状態 ($\dot{Q}_i(t, \mathbf{x}) = 0$)で、**近似的に保存される量** ($\Gamma \simeq 0$)



symmetric phaseに残るchargeの総量は
 D_Q と流入するflux (source term)で決まる

Symmetric phase で $B=L=0$ である状態に

Y が注入されるとき

$$\bar{t}_{EW} < \text{flux流入の時間スケール} \sim \frac{\text{wall width}}{v_w} \simeq \frac{10 - 100}{T} \simeq (1 - 10) \text{GeV}^{-1} < \bar{t}_{\text{sph}}^{(\text{sym})}$$

sphaleron過程以外の素過程は化学平衡

(近似的に)保存される量子数 $Q^a = \{B - L, Y, I_3, B\} \leftrightarrow \mu_{B-L}, \mu_Y, \mu_{I_3}, \mu_B$

各粒子の数密度 $n_i = \frac{T^2}{6} k_i \mu_i = \frac{T^2}{6} k_i \sum_a q_i^a \mu_{Q^a}$ $k_i = \begin{cases} 1 & \text{:fermion} \\ 2 & \text{:boson} \end{cases}$

例えば、 $n_{u_L(d_L)} = \frac{T^2}{6} \left(\frac{1}{3} \mu_B + \frac{1}{3} \mu_{B-L} + \frac{1}{6} \mu_Y + (-) \frac{1}{2} \mu_{I_3} \right)$

→ 量子数の期待値 $Q^a = \sum_i q_i^a n_i = \frac{T^2}{6} \sum_{i,b} k_i q_i^a q_i^b \mu_{Q^b}$

$B = L = 0$ を課すと、 μ_Y, μ_{B-L} が μ_B で表される。

$$\mu_B = \frac{Y}{(N_H + 5/3)T^2}$$

$N_H = \#(\text{Higgs doublets})$

生成されるバリオン数

$$n_B = -3 \frac{\Gamma_{\text{sph}}^{(\text{sym})}}{T} \int dt \mu_B = \frac{3\Gamma_{\text{sph}}^{(\text{sym})}}{(N_H + 5/3)T^3} \int_{-\infty}^{z/v_w} dt \rho_Y(z - v_w t)$$

$v_w = \text{const.}$ is assumed

$\rho_Y(z)$ = wallから距離 z の位置での Y -density

右辺の積分

=無限の過去から現在の位置 z までwallが動く間に貯まる Y の総量

$$\int_{-\infty}^{z/v_w} dt \rho_Y(z - v_w t) = \frac{1}{v_w} \int_0^{\infty} dz \rho_Y(z) \simeq \frac{F_Y \tau}{v_w}$$

τ = 散乱された粒子がwallに捕まるまでに走る時間 \simeq diffusion length

$$\frac{n_B}{s} \simeq 3\mathcal{N} \frac{100}{\pi^2 g_{*S}} \cdot \kappa \alpha_W^4 \cdot \frac{F_Y}{v_w T^3} \cdot \tau T$$

$$\mathcal{N} = O(1)$$

$$\tau \simeq \text{mean-free path} \longrightarrow \tau T \simeq \begin{cases} 1 & \text{for quarks} \\ 10^{2-3} & \text{for leptons} \end{cases}$$

全断面積を用いて評価

MC simulation : 前方散乱する確率が高い

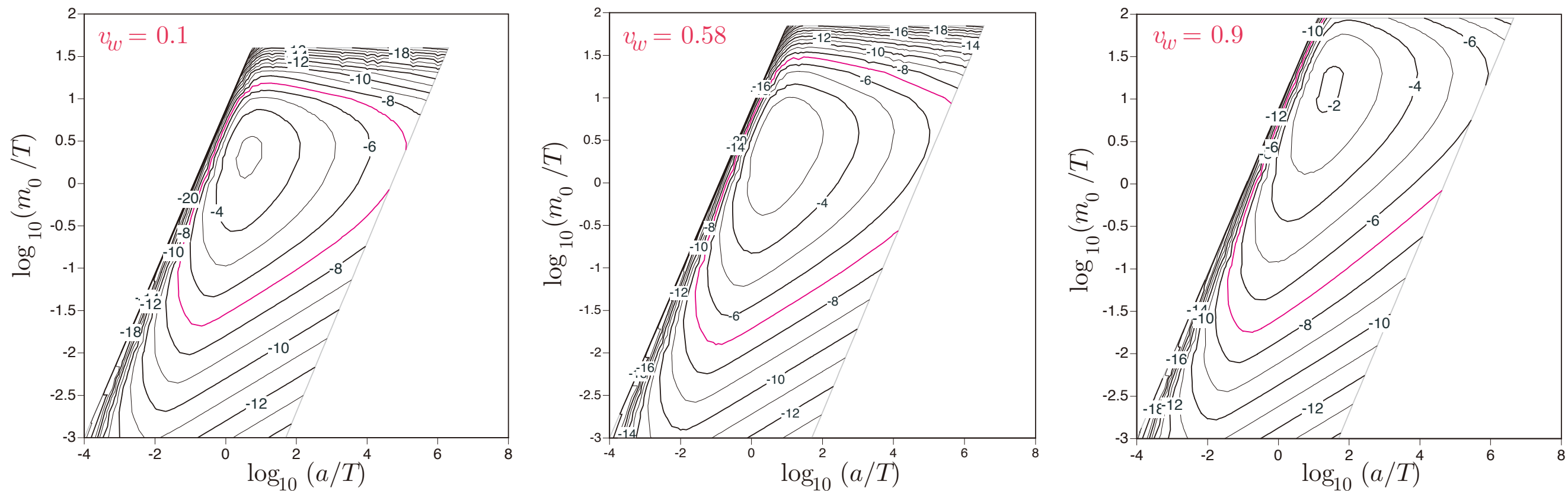
top quarkに対して $\tau T = 10^{1-3}$ max at $v_w \simeq 1/\sqrt{3}$

for the optimal case

$$\frac{n_B}{s} \simeq 10^{-3} \cdot \frac{F_Y}{v_w T^3}$$

$$\frac{F_Y}{v_w T^3} = O(10^{-7}) \longrightarrow \text{十分なバリオン数非対称性}$$

$\frac{F_Q}{T^3(Q_L - Q_R)}$ のlog plot (at $T=100\text{GeV}$)



このtoy modelではCP位相を $O(1)$ にしているが、 10^{-3} でもOK

Beyond the toy model

- bubble wallのprofileと速度
- wall近傍のCP位相
- 何がcarrierになるか

おわりに

宇宙のバリオン数, Dark Matter, Dark Energy

存在は明らかだが、決定的な理論は無い

どれも標準理論の拡張を必要とする

バリオン数生成

電弱バリオン数生成

レプトン数生成

非平衡過程の取り扱い

現象論的制限を取り入れること

CP, Higgsの物理

ニュートリノ振動, seesaw模型

Baryogenesisは**広範囲の物理**を扱います。

幅広く勉強ができます。

宇宙

inflation
preheating
phase transition
dark matter
gravitational wave
...

非平衡

integrated Boltzmann eq.
full Boltzmann eq.
Kadanoff-Baym eq.
...

素粒子

CP violation
neutrino
Higgs
SUSY
GUTs
...

広く浅く勉強して、
まずは、興味のある問題を一点突破で
それから、興味は広がります。

ご清聴、ありがとうございました。